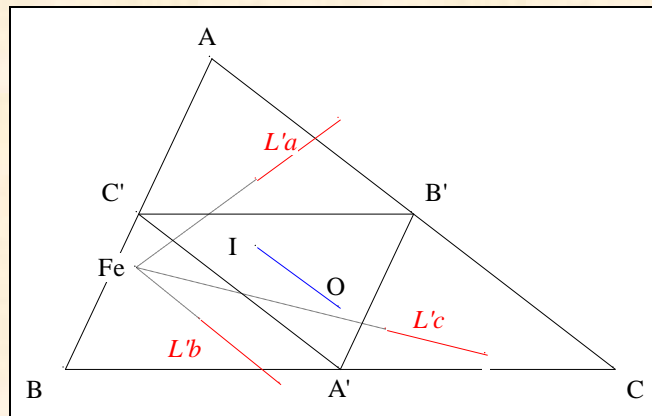
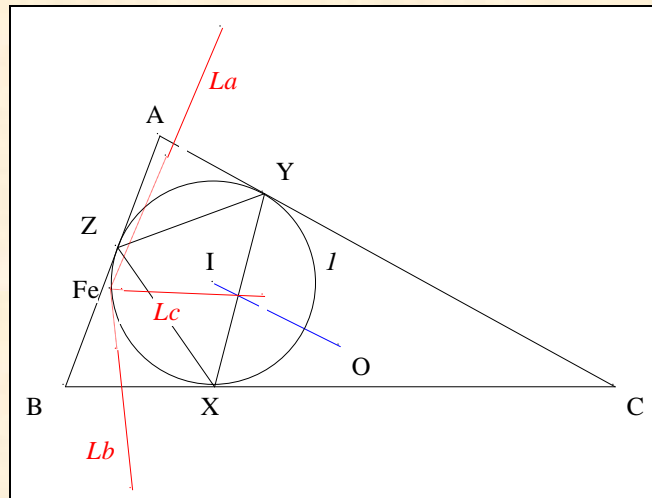


# SYMÉTRIQUES DE (OI) PAR RAPPORT AUX CÔTÉS DES TRIANGLES DE CONTACT ET MÉDIAN

†

Jean-Louis AYME <sup>1</sup>



## Résumé.

Nous présentons deux preuves originales de deux résultats connus à savoir que les symétriques de la droite joignant les centres O et I des cercles circonscrit et inscrit, par rapport aux côtés des triangles de contact et médian, passent par le point de Feuerbach Fe. Ce résultat est atteint à partir de deux résultats de l'auteur. Les figures sont toutes en position générale et tous les théorèmes cités peuvent tous être démontrés synthétiquement.

## Remerciements.

Ils s'adressent tout particulièrement au professeur Ercole Suppa de Teramo (Italie) qui a relu et corrigé cet article.

<sup>1</sup> Saint-Denis, Île de La Réunion (Océan Indien, France) ; [jeanlouisayme@yahoo.fr](mailto:jeanlouisayme@yahoo.fr)

- Abstract.** We present two original evidence of two results known namely symmetric of the straight line joining the centres O and I of the circles circumscribed and inscribed over the sides of the triangles of contact and median, pass through the point of Feuerbach Fe. This result is achieved from two results of the author.  
The figures are all in general position and all cited theorems can all be shown briefly.
- Acknowledgements.** They go particularly to the Professor Ercole Suppa of Teramo (Italy) who read and corrected this article.
- Sommario.** Presentiamo due dimostrazioni originali di due risultati noti, vale a dire che le rette simmetriche della retta che unisce i centri O ed I dei cerchi circoscritto ed inscritto, rispetto ai lati dei triangoli di contatto e mediale, passano per il punto di Feuerbach Fe. Questo risultato è ottenuto a partire da due risultati dell'autore. Le figure sono tutte in posizione generale e tutti i teoremi citati possono essere dimostrati sinteticamente.
- Riconoscimenti.** Sono rivolti particolarmente al professore Ercole Suppa di Teramo (Italia) che ha riletto e corretto questo articolo.

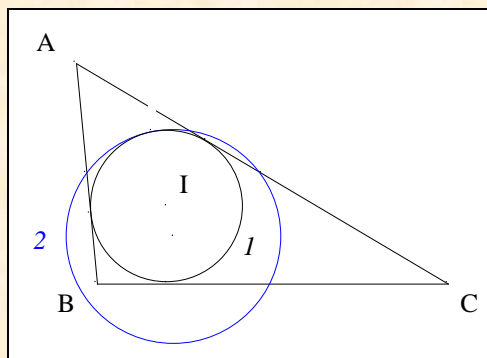
Sommaire	
A. Karl Feuerbach	3
B. Le capitaine Amédée E. Morel	5
C. Le lieutenant Calabre	7
D. Deux anonymes	9
E. Johann Döttl	13
F. Michel Garitte	16
G. Antreas P. Hatzipolakis	17
H. L'auteur	20
I. La grande récolte	24
J. Annexe	43
1. La tangente au sommet	
2. Le théorème de Newton	
3. Theorem of schamrock	
4. Rayon du cercle inscrit	
5. Symétrie de l'orthocentre par rapport à un côté	
6. Centre du cercle circonscrit du triangle tangentiel	
7. Orthocentre d'un triangle I-annexe	
8. La droite et l'antipoint de Steiner	
9. Trois céviennes diamétrales Bodenmiller	
10. Hexagramma mysticum	

Attention, jusqu'à la huitième partie incluse, les notations peuvent varier d'une partie à l'autre.

## A. KARL FEUERBACH <sup>2</sup>

<sup>2</sup> Feuerbach K.. *Eigenschaften einiger merkwürdigen Punkte des geradlinigen Dreiecks, und mehrerer durch sie bestimmten Linien und Figuren* (1822) 38

Figure :

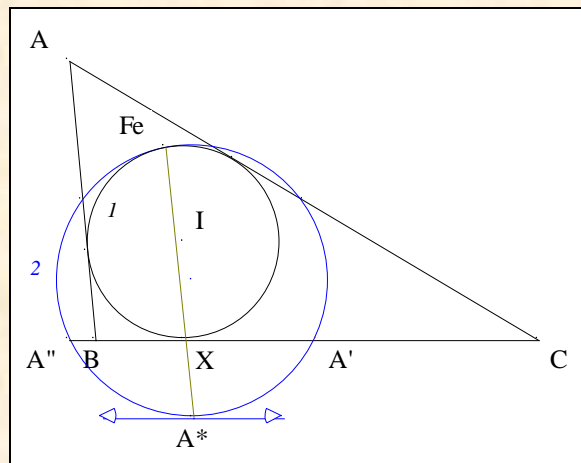


**Traits :** ABC un triangle,  
 $I$  le cercle inscrit dans ABC,  
 $I$  le centre de  $I$   
 et 2 le cercle d'Euler de ABC.

**Donné :**  $I$  et 2 sont tangents<sup>3</sup>.

**Scolies :** (1) le point de contact du cercle d'Euler et du cercle inscrit, est le point de Feuerbach ;  
 noté Fe, il est répertorié sous  $X_{11}$  chez ETC.

(2) Position de Fe



• Notons X le point de contact de  $I$  avec (BC),  
 $A'$  le milieu de [BC],  
 $A''$  le pied de la A-hauteur de ABC,  
 $A^*$  le milieu de l'arc  $A'A''$  ne contenant pas le A-point d'Euler de ABC  
 et  $Ta^*$  la tangente à 2 en  $A^*$ .

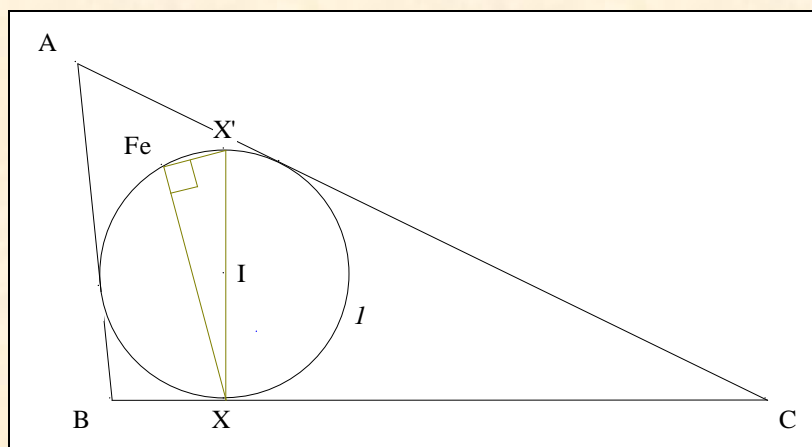
• Le triangle  $A^*A'A''$  est a-isocèle.

• D'après "La tangente au sommet" (Cf. Annexe 1),  $Ta^* \parallel (A'A'')$ .

• **Conclusion :** les cercles 2 et  $I$ , le point de base Fe, les tangentes  $Ta^*$  et  $(A'A'')$ ,  
 conduisent au théorème 8' de Reim ; en conséquence,  $A^*$ , Fe et X sont alignés.

<sup>3</sup>

## (2) Un triangle Fe-rectangle



- Notons  $X'$  l'antipôle de  $X$  sur  $I$ .
- **Conclusion :** d'après Thalès "Triangle inscriptible dans un demi cercle", le triangle  $FeXX'$  est Fe-rectangle.

**Note historique :**

la preuve analytique de Feuerbach constitue un tour de force et traduit sa ténacité ; il prend A pour origine, (AB) pour axe des abscisses et s'appuie sur un article d'Euler <sup>4</sup> pour arriver au résultat.

Rappelons que Jakob Steiner <sup>5</sup> en 1833, Chrian Heinrich von Nagel <sup>6</sup> en 1836, Olry Terquem en 1841, Carl Adams <sup>7</sup> en 1846, l'élève J. Mention <sup>8</sup> en 1846 et 1850, Reuschle en 1853, Hart vers 1860, Harvey <sup>9</sup> en 1887, J. P. Taylor <sup>10</sup> en 1900, Amédée Mannheim<sup>11</sup> en 1902, Georges Fontené <sup>12</sup> en 1905, prouveront le célèbre résultat de Feuerbach.

Signalons que Mention sera le premier à en donné une preuve géométrique en 1846, qu'Hamilton en 1860 déterminera la position du point de contact, que Calille Gérono <sup>13</sup> en 1865 déterminera à son tour l'emplacement du point de contact mais en n'en n'employant que la règle et que Fontené <sup>14</sup> donnera une preuve basée sur l'inversion tout en précisant la position du point de contact.

**B. LE CAPITAINE****AU CORPS ROYAL D'ARTILLERIE**

<sup>4</sup> Euler L., Solutio facilis problematum quorundam geometricorum difficillimorum, *Novi commentarii Academiae Petropolitanae* **11**, 103 (1765)

<sup>5</sup> Steiner J., *Annales de Gergonne* **19**

Steiner J., *Développement systématique de la dépendance mutuelle des figures géométriques* (1833) 55

<sup>6</sup> Nagel (von) C., *Le développement de la géométrie moderne du triangle* (1836)

<sup>7</sup> Adams C., *Die merkwürdigen Eigenschaften des geradlinigen Dreiecks* (1846)

<sup>8</sup> Mention, *Nouvelles Annales* **4** (1846) 403 ;

Mention, Note sur le triangle rectiligne, *Nouvelles Annales* **9** (1850) 101

<sup>9</sup> Harvey, *Proceedings of Edinburgh Math. Soc.* **5** (1887) 102

<sup>10</sup> Taylor J. P., Question 1544, *Intermédiaire des mathématiciens* (1900) 314

<sup>11</sup> Mannheim A., *Nouvelles Annales* (1902) 500

<sup>12</sup> Fontené, Sur le théorème de Feuerbach, *Nouvelles Annales de Mathématiques* (1905)

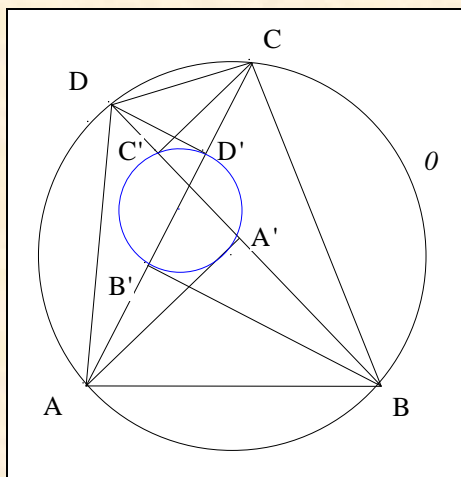
<sup>13</sup> Gérono, *Nouvelles Annales de Mathématiques* (1865) 220

<sup>14</sup> Fontené G., Sur le théorème de Feuerbach, *Nouvelles Annales de Mathématiques* (1907)

## AMÉDÉE E. MOREL

## VISION

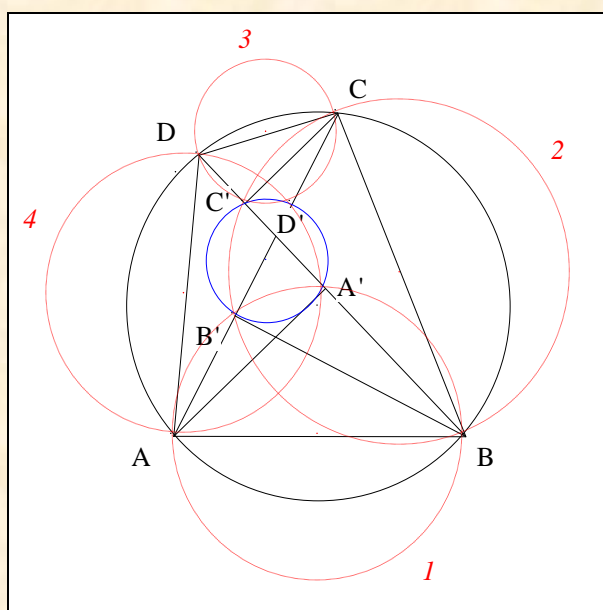
Figure :



**Traits :**  $O$  un cercle,  
 $ABCD$  un quadrilatère inscrit dans  $O$ ,  
**et**  $A', B', C', D'$  les pieds des perpendiculaires abaissées de  $A, B, C, D$   
 resp. sur  $(BD), (AC), (BD), (AC)$ .

**Donné :**  $A', B', C', D'$  sont cocycliques <sup>15</sup>.

## VISUALISATION



- Notons  $1$  le cercle de diamètre  $[AB]$  ; il passe par  $A'$  et  $B'$  ;
- $2$  le cercle de diamètre  $[BC]$  ; il passe par  $B'$  et  $C'$  ;

<sup>15</sup> Morel A., Réponse à la Question 908, *Nouvelles Annales* (1867) 317

et                    3            le cercle de diamètre [CD] ; il passe par C' et D' ;  
                          4            le cercle de diamètre [DA] ; il passe par D' et A'.

- **Conclusion :** d'après Miquel "Le théorème des six cercles" <sup>16</sup>,            A', B', C' et D' sont cocycliques.
- Notons                    5            ce cercle.

### Énoncés traditionnels :

- (1) les cercles qui ont pour diamètres les côtés d'un quadrilatère cyclique conduisent par leur intersection à un quadrilatère cyclique.
- (2) les quatre projections des sommets d'un quadrilatère cyclique sur les diagonales, conduisent à un quadrilatère cyclique.

**Scolie :**                                    5 est "le cercle de Morel du quadrilatère cyclique ABCD".

**Note historique :**                    c'est en répondant à la question 908 posée par Émile Lemoine <sup>17</sup> dans les *Nouvelles Annales* de 1867 qu'Amédée Morel cite le résultat précédent que l'on retrouve chez Eugène Catalan <sup>18</sup>.

## C. LE LIEUTENANT CALABRE

### VISION

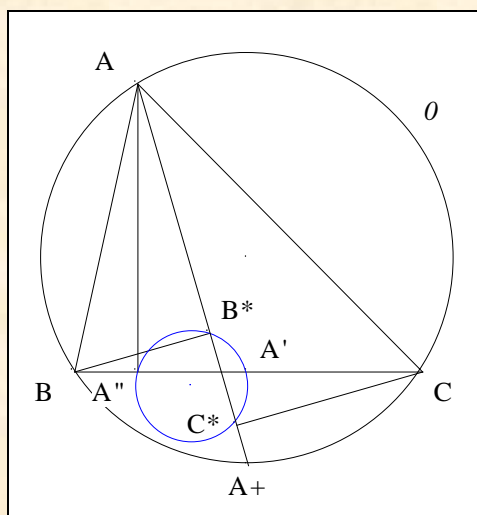
**Figure :**

<sup>16</sup> Ayme J.-L., Du théorème de Reim au théorème des six cercles, G.G.G. vol. 2

<sup>17</sup> Lemoine, Question 908, *Nouvelles Annales* (2) **8** (1867) 47

<sup>18</sup> Catalan E., Théorème **13**, *Théorèmes et problèmes de Géométrie Élémentaire*, Dunod (1879) 39

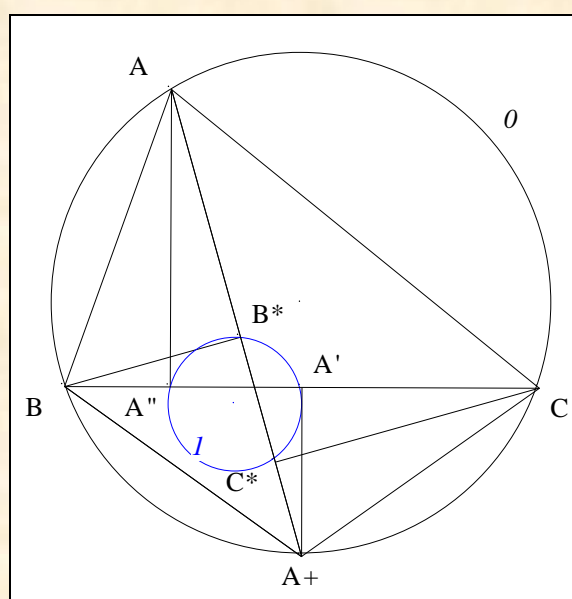




**Traits :**  $ABC$  un triangle,  
 $O$  le cercle circonscrit à  $ABC$ ,  
 $A+$  le milieu de l'arc  $BC$  ne contenant pas  $A$ ,  
 $A'$  le milieu de  $[BC]$ ,  
 $A''$  le pied de la  $A$ -hauteur de  $ABC$ ,  
 et  $B^*, C^*$  les pieds des perpendiculaires abaissées de  $B, C$  sur  $(AA+)$ .

**Donné :**  $A', A'', B^*, C^*$  sont cocycliques <sup>19</sup>.

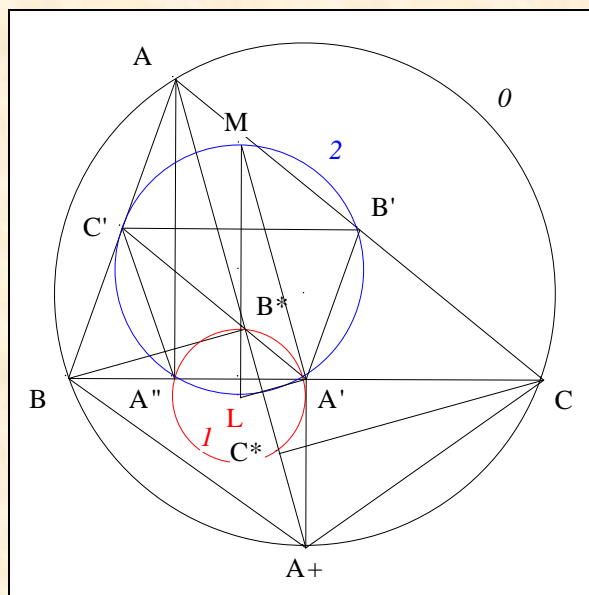
### VISUALISATION



- **Scolies :** (1)  $(AA+)$  est la  $A$ -bissectrice intérieure de  $ABC$   
 (2)  $A'$  est le pied de la perpendiculaire abaissée de  $A+$  sur  $(BC)$ .
- Considérons le quadrilatère  $ABA+C$  et ses diagonales  $(AA+)$  et  $(BC)$ .
- **Conclusion :** d'après Morel,  $A', A'', B^*, C^*$  sont cocycliques.
- Notons  $I$  ce cercle.

<sup>19</sup> Malloizel R., *Journal de Mathématiques Élémentaires* (1878) 91

- Scolies :**
- (1) 5 est "le A-cercle de Calabre de ABC".
  - (2) Le centre du A-cercle de Calabre est sur le cercle d'Euler



- Notons aux hypothèses et notations précédentes, nous ajoutons  
 $B', C'$  les milieux resp. de  $[AC]$ ,  $[AB]$ ,  
 $2$  le cercle d'Euler ; il passe par  $A'', A', B', C'$  ;  
 et  $L, M$  les points d'intersection de la médiatrice de  $[A'A'']$  avec  $I$ .
- $L$  est le milieu de l'arc  $A''A'$  ne contenant pas le A-point d'Euler de  $ABC$ .
- Le quadrilatère  $A''A'B'C'$  étant un trapèze cyclique, est isocèle ;  
 il s'en suit que  $(LM)$  est la médiatrice de  $[B'C']$ .
- $M$  étant le milieu de l'arc  $B'C'$  ne contenant pas  $A'$ ,  $(A'M)$  est la  $A'$ -bissectrice du triangle  $A'B'C'$  ;  
 le quadrilatère  $A'B'AC'$  étant un parallélogramme,  $(A'M) \parallel (AA+)$ .
- D'après Thalès "Triangle inscrit dans un demi-cercle",  $(A'M) \perp (A'L)$  ;  
 en conséquences,  $(A'L) \perp (AA+)$ ,  $(A'L) \parallel (BB^*)$ ,  $(A'L) \parallel (CC^*)$ .
- $A'$  étant le milieu de  $[BC]$ ,  $(BB^*)$  et  $(CC^*)$  étant parallèles,  $(A'L)$  est la médiatrice de  $[B^*C^*]$ .
- **Conclusion :**  $L$  est le centre de  $I$ .

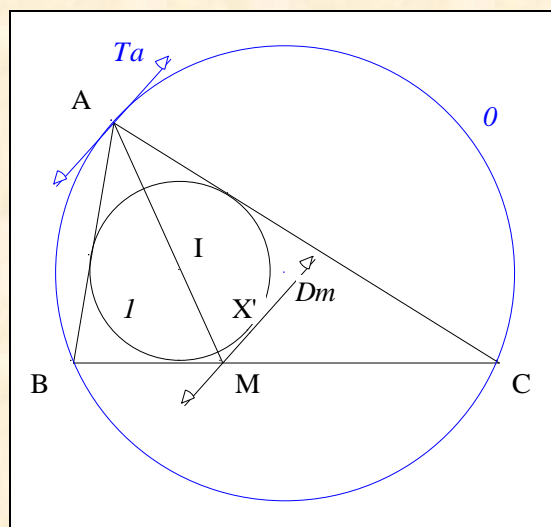
## D. DEUX ANONYMES

### 1. Une tangente au cercle inscrit

## VISION



Figure :

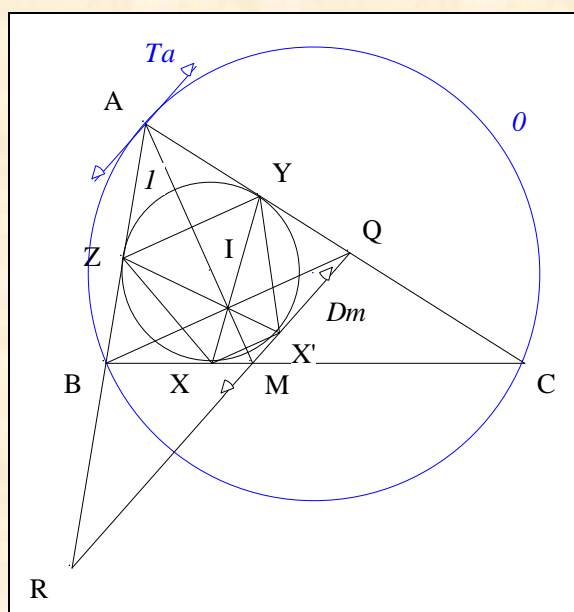


**Traits :**

ABC	un triangle,
$O$	le cercle circonscrit à ABC,
$Ta$	la tangente à $O$ en A,
$I$	le cercle inscrit dans ABC,
$I$	le centre de $I$ ,
$M$	le pied de la bissectrice (AI),
$Dm$	la seconde tangente à $I$ menée à partir de $M$
et $X'$	le point de contact de $Dm$ avec $I$ .

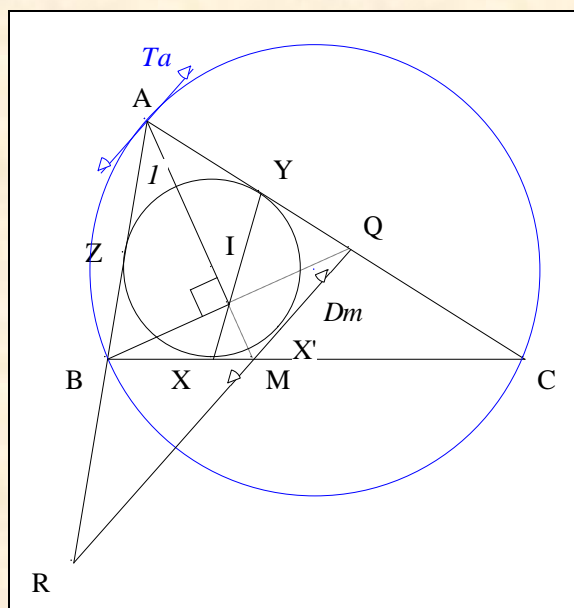
**Donné :**  $Dm$  est parallèle à  $Ta$ .

### VISUALISATION

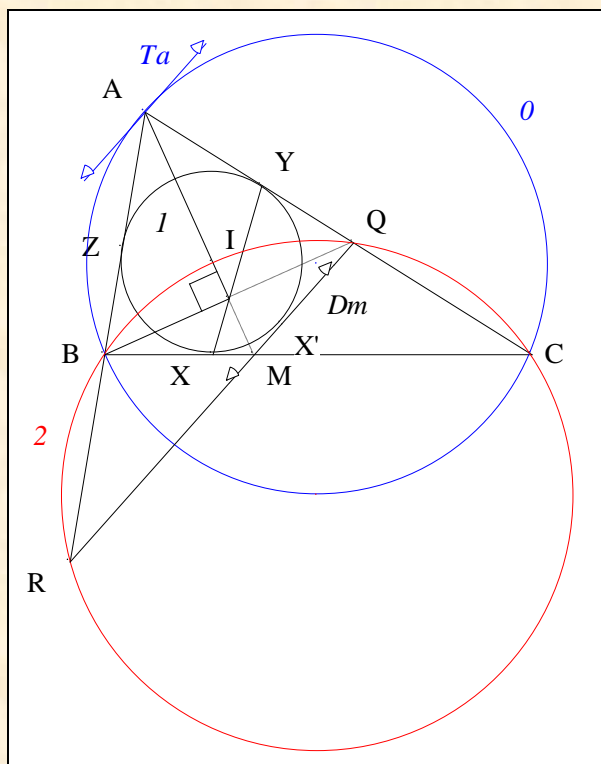


- Notons  $X, Y, Z$  les points de contact de  $I$  resp. avec (BC), (CA), (AB)
- et  $Q, R$  les points d'intersection de  $Dm$  resp. avec (CA) et (AB).

- D'après "Le théorème de Newton" (Cf. Annexe 2), les diagonales des quadrilatères tangentiel ABMQ et inscrit XX'YZ à  $I$ , sont concourantes.



- D'après Lascases "An unlikely concurrence" <sup>20</sup>, (AI)  $\perp$  (BQ).
- La A-bissectrice (AI) du triangle ABQ étant aussi la A-hauteur, ABQ est A-isocèle ;  
en conséquence, (AI) est la médiatrice de [BQ].



- M étant sur la médiatrice (AI) de la base [BQ] du triangle A-isocèle ABQ, le quadrilatère BQCR est un trapèze isocèle;  
en conséquence, BQCR est cyclique.

20

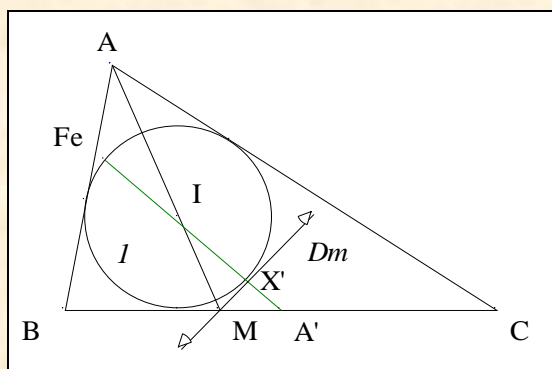
- Notons  $\omega$  ce cercle.
- Les cercles  $\omega$  et  $\Omega$ , les points de base  $B$  et  $C$ , les médiatrices  $(RBA)$  et  $(QCA)$ , conduisent au théorème 1 de Reim ; il s'en suit que  $(RQ) \parallel Ta$ .
- **Conclusion :**  $Dm$  est parallèle à  $Ta$ .

**Scolie :**  $X'$  est le symétrique de  $X$  par rapport à  $(AI)$ .

## 2. Trois points alignés <sup>21</sup>

### VISION

**Figure :**



**Traits :**

ABC	un triangle,
$I$	le cercle inscrit dans ABC,
$I$	le centre de $I$ ,
$M$	le pied de la bissectrice $(AI)$ ,
$Dm$	la seconde tangente à $I$ menée à partir de $M$ ,
$X'$	le point de contact de $Dm$ avec $I$ ,
$A'$	le milieu du côté $[BC]$

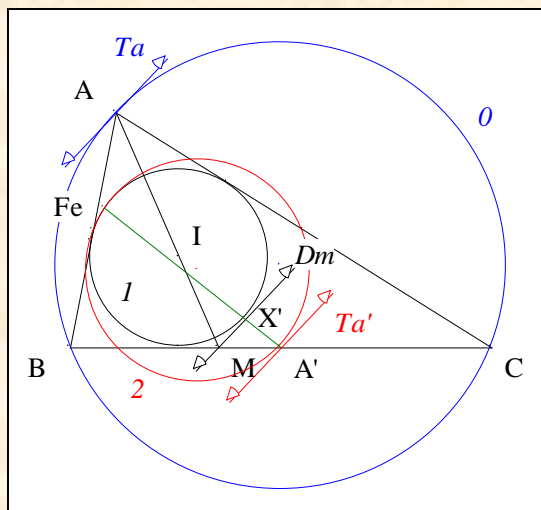
et  $Fe$  le point de Feuerbach de ABC.

**Donné :**  $Fe$ ,  $A'$  et  $X'$  sont alignés.

### VISUALISATION

<sup>21</sup>

Fontené G., Sur le théorème de Feuerbach, *Nouvelles Annales*, Séries 4, vol. 8, 1907



- Notons  $O$  le cercle circonscrit à  $ABC$ ,  
 $Ta$  la tangente à  $O$  en  $A$ ,  
 $2$  le cercle d'Euler de  $ABC$  ; il passe par  $A'$  ;  
 et  $Ta'$  la tangente à  $2$  en  $A'$ ,
- D'après 1. Une tangente au cercle inscrit, nous savons :  
 par transitivité de la relation  $//$ ,  
 $Dm // Ta$  ;  
 $Ta // Ta'$  ;  
 $Dm // Ta'$ .
- D'après "Le point de Feuerbach" <sup>22</sup>,  
 $2$  est tangent à  $I$  en  $Fe$ .
- **Conclusion** : les cercles  $I$  et  $2$ , le point de base  $Fe$ , les parallèles  $Dm$  et  $Ta'$ , conduisent au théorème 8' de Reim ; en conséquence,  $Fe, A'$  et  $X'$  sont alignés.

**Note historique :** ce résultat faisait partie de la solution du deuxième problème <sup>23</sup> de la 13-ième O.I.M. qui s'est tenue à Budapest (Hongrie) en 1982.

**Commentaire :** la tangente au cercle d'Euler en un point milieu d'un côté d'un triangle est parallèle à la tangente au cercle circonscrit de ce triangle au sommet correspondant.

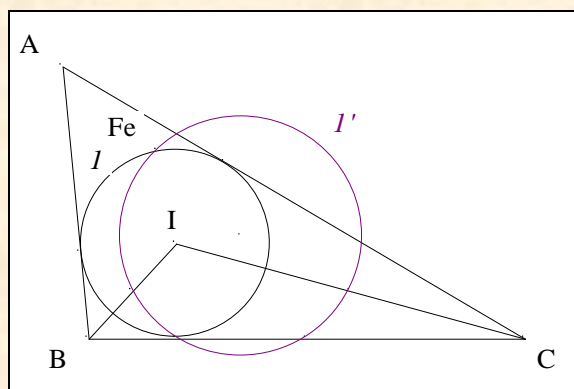
**E. JOHANN DÖTTL**

**VISION**

**Figure :**

<sup>22</sup> Ayme J.-L., Le théorème de Feuerbach, G.G.G. vol. 1

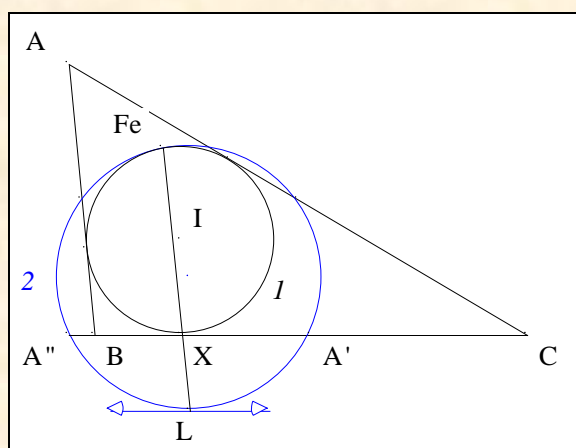
<sup>23</sup> Fontené G., Sur le théorème de Feuerbach, *Nouvelles Annales*, Séries 4, vol. 8, 1907



**Traits :** ABC un triangle,  
 $I$  le cercle inscrit dans ABC,  
 $I$  le centre de  $I$ ,  
 $I'$  le cercle d'Euler du triangle IBC  
 et Fe le point de Feuerbach de ABC.

**Donné :** Fe est sur  $I'$ .

### VISUALISATION



• Notons  $A'$  le milieu de  $[BC]$   
 $A''$  le pied de la A-hauteur de ABC,  
 $X$  le point de contact de  $I$  avec  $(BC)$ ,  
 $2$  le cercle d'Euler de ABC,  
 $L$  le milieu de l'arc  $A'A''$  ne contenant pas le A-point d'Euler de ABC  
 et  $Tl$  la tangente à  $2$  en  $L$ .

• **Scolies :** (1) par définition,  $2$  passe par  $A'$   
 (2) d'après A. Feuerbach,  $2$  passe par Fe  
 $L, X$  et Fe sont alignés  
 (3) d'après "La tangente au sommet" (Cf Annexe 1),  $Tl \parallel (BXC)$ .





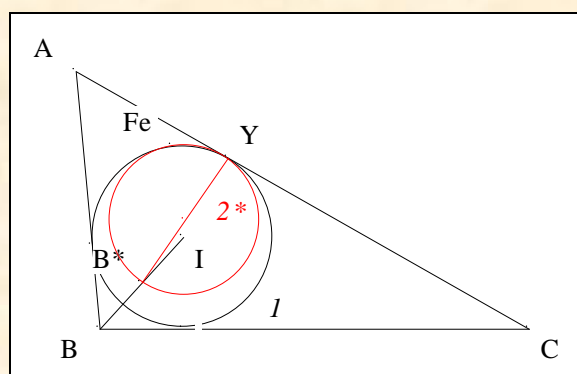
- **Conclusion :** Fe est sur  $I'$ .

**Note historique :** en 2004, Khoa Lu Nguyen <sup>24</sup> connu sous le pseudonyme de "Treegoner" a donné une preuve angulaire de ce résultat.  
 Darij Grinberg <sup>25</sup> a signalé dans un message au sein du groupe Hyacinthos qu'il avait atteint ce résultat à partir d'une généralisation du point de Feuerbach <sup>26</sup> et que l'esquisse d'une preuve possible se trouve dans un autre message Hyacinthos <sup>27</sup>.

## F. MICHEL GARITTE

### VISION

**Figure :**

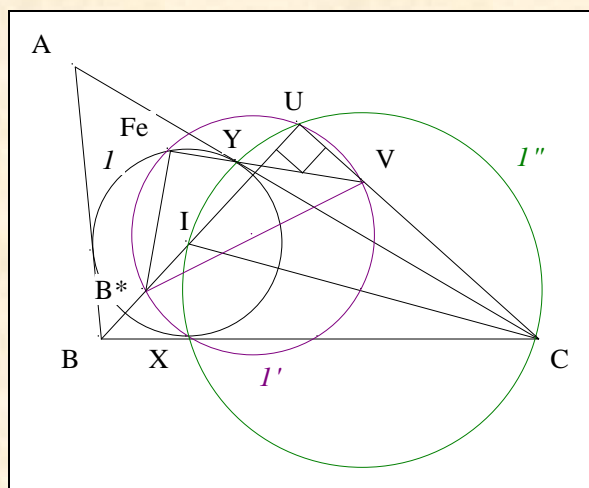


**Traits :** ABC un triangle,  
 $I$  le cercle inscrit dans ABC,  
 $I$  le centre de  $I$ ,  
 Fe le point de Feuerbach,  
 $Y$  le point de contact de  $I$  avec (CA),  
 $B^*$  le milieu de  $[IB]$   
 et  $2^*$  le cercle de diamètre  $[B^*Y]$ .

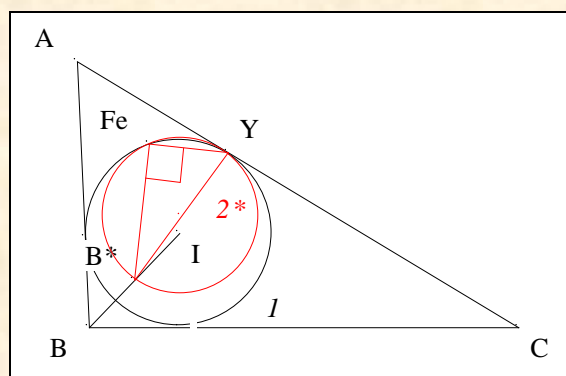
**Donné :** Fe est sur  $2^*$ .

### VISUALISATION

<sup>24</sup> Nguyen K. L., F again + Concurrent Circumcircles, Message *Hyacinthos* # 10520 du 23/09/2004  
<sup>25</sup> Grinberg D., F again + Concurrent Circumcircles, Message *Hyacinthos* # 10527 du 24/09/2004  
<sup>26</sup> Grinberg D., Theorem 3. 7b, Generalization of the Feuerbach ; [http://de.geocities.com/darij\\_grinberg](http://de.geocities.com/darij_grinberg)  
<sup>27</sup> Grinberg D., Re: Fuhrmann triangle, Message *Hyacinthos* # 9725 du 19/04/2004



- Notons  $X$  le point de contact de  $I$  avec  $(BC)$ ,  
 $I'$  le cercle d'Euler du triangle  $IBC$ ,  
 $I''$  le cercle de diamètre  $[IC]$   
 et  $U$  le pied de la  $C$ -hauteur de  $IBC$ .
- **Scolies :**
  - (1) d'après "Le cercle d'Euler-Bevan"<sup>28</sup>  $I'$  passe par  $U$
  - (1) d'après E. Döttl,  $I'$  passe par  $Fe$
  - (2) d'après Thalès "Triangle inscrit dans un demi cercle",  $I''$  passe par  $X, Y$  et  $U$
- Notons  $V$  le second point d'intersection de  $(CU)$  avec  $I'$ .
- D'après "Le théorème des trois cercles"<sup>29</sup> appliqué au triangle  $YCV$  avec  $I, I'$  et  $I''$ ,  $Fe, Y$  et  $V$  sont alignés.
- D'après Thalès "Triangle inscrit dans un demi cercle",  $(B^*Fe) \perp (FeYV)$ .



- **Conclusion :**  $Fe$  est sur  $2^*$ .

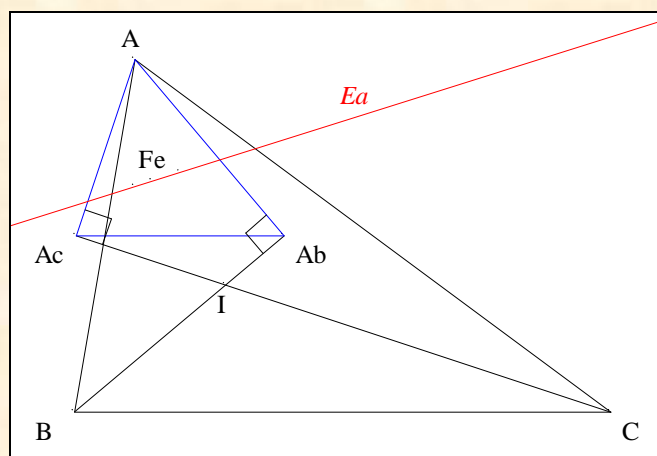
**Scolie :**  $2^*$  est le "B-cercle de Garitte de  $ABC$ ".

**G. ANTREAS P. HATZIPOLAKIS**

<sup>28</sup> Ayme J.-L., Les cercles Morley, Euler, Mannheim et Miquel, G.G.G. vol. 2  
<sup>29</sup> Ayme J.-L., du théorème de Reim au théorème des six cercles, G.G.G. vol. 2

## VISION

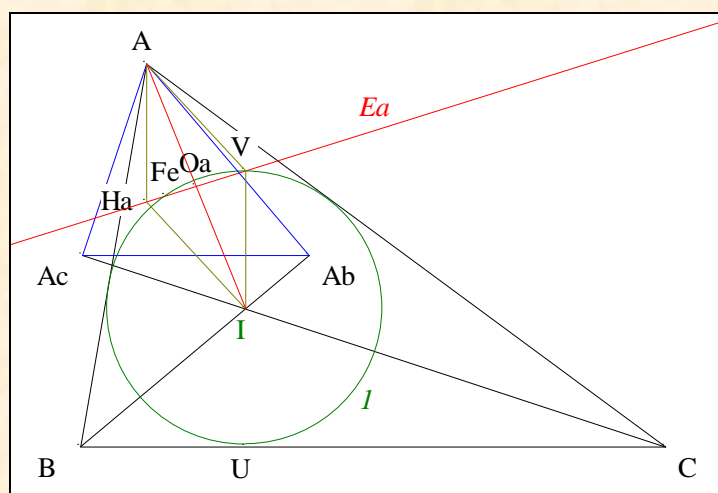
Figure :



**Traits :** ABC un triangle,  
 I le centre de ABC,  
 Fe le point de Feuerbach de ABC,  
 Ab, Ac les pieds des perpendiculaires abaissées de A resp. sur (BI), (CI),  
 et Ea la droite d'Euler du triangle AAcAb.

**Donné :** Ea passe par Fe<sup>30</sup>.

## VISUALISATION



- Notons Ha l'orthocentre de AAcAb,  
 Oa le centre du cercle circonscrit au triangle AAcAb,  
 I le cercle inscrit de ABC,  
 U le point de contact de I avec (BC)  
 et V l'antipôle de U relativement à I.

**Scolie :** par définition,  $Ea = (HaOa)$ .

- D'après "Rayon du cercle inscrit" (Cf. Annexe 4),  
 par hypothèses,  $AHa = IV$  ;  
 $(AHa) \parallel (IV)$  ;

<sup>30</sup>

en conséquence,  
Oa étant le milieu de [AI],

le quadrilatère AHaIV est un parallélogramme;  
Ha, Oa et V sont alignés.

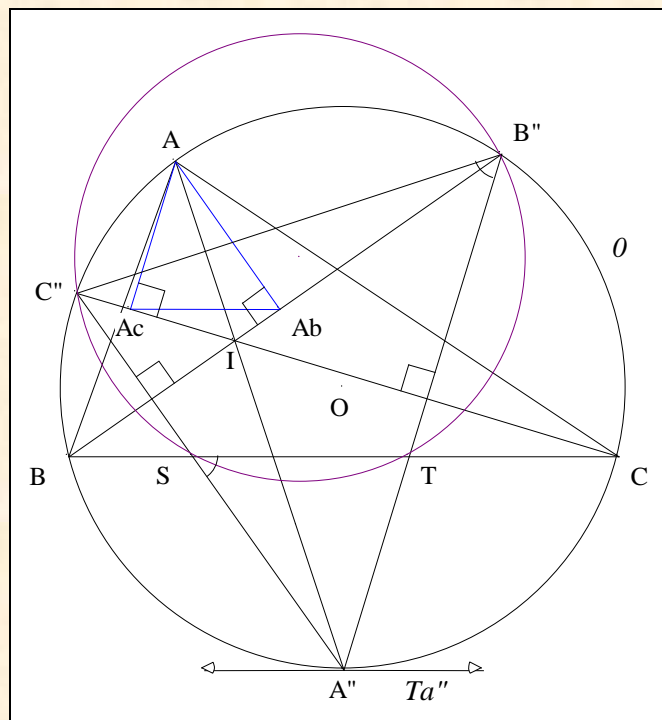
- D'après "Les cercles de Garitte",  
d'après Feuerbach "Le point de...", scolie 3",  
d'après l'axiome IVa des perpendiculaires,  
d'après le postulat d'Euclide,

$$\begin{aligned} &(\text{FeOa}) \perp (\text{FeU}) ; \\ &(\text{FeU}) \perp (\text{FeV}) ; \\ &(\text{FeOa}) \parallel (\text{FeV}) ; \\ &(\text{FeOa}) = (\text{FeV}). \end{aligned}$$

- **Conclusion :** Ea i.e. (HaOa) passe par Fe.

**Commentaire :** ce beau résultat d'Antreas Hatzipolakis a été démontré synthétiquement à partir d'une généralisation du point de Feuerbach déjà mentionnée et d'une longue chasse angulaire par Darij Grinberg<sup>31</sup> et par Khoa Lu Nguyen<sup>32</sup> qui s'appuie aussi sur l'article de Grinberg.

**Scolies :** (1) deux triangles inversement semblables



- Notons  $\theta$  le cercle circonscrit à ABC,  
 $A''B''C''$  le triangle I-circumcévien de ABC,  
 $Ta''$  la tangente à  $\theta$  en  $A''$   
et S, T les seconds points d'intersection resp. de  $(A''C'')$ ,  $(A''B'')$  avec  $\theta$ .
- Nous avons :  $(AAb) \parallel (A''S)$  ,  $(AAc) \parallel (A''T)$  ,  $(AbAc) \parallel (ST)$  ;  
en conséquence, le triangle AAbAc est homothétiques au triangle A''ST.
- Nous avons :  $Ta'' \parallel (TS)$ .
- Le cercle  $\theta$ , les points de base B'' et C'', les moniennes naissantes  $(A''B''T)$  et  $(A''C''S)$ ,  
les parallèles  $Ta''$  et (TS), conduisent au théorème 1'' de Reim ;  
en conséquence, B'', C'', T et S sont cocycliques ;  
il s'en suit que le triangle A''ST est inversement semblable au triangle A''B''C''.

<sup>31</sup> Grinberg D., F??, Antreas' Feuerbach concurrence, Message *Hyacinthos* # 10584 du 02/10/2004

<sup>32</sup> Nguyen K. L., Antreas's Euler lines concurrence revisited, Message *Hyacinthos* # 10913 du 28/11/2004

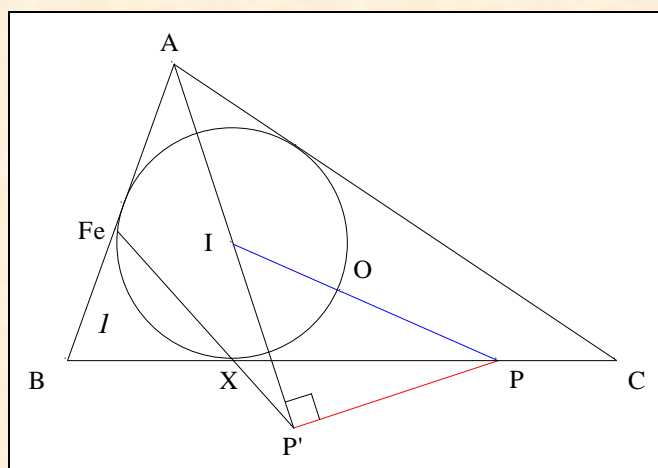
- **Conclusion :**  $AAbAc$  est inversement semblable à  $A''B''C''$ .

(2)  $V$  est le point de de Longchamps de  $AAbAc$ .

## H. L'AUTEUR

### VISION

Figure :

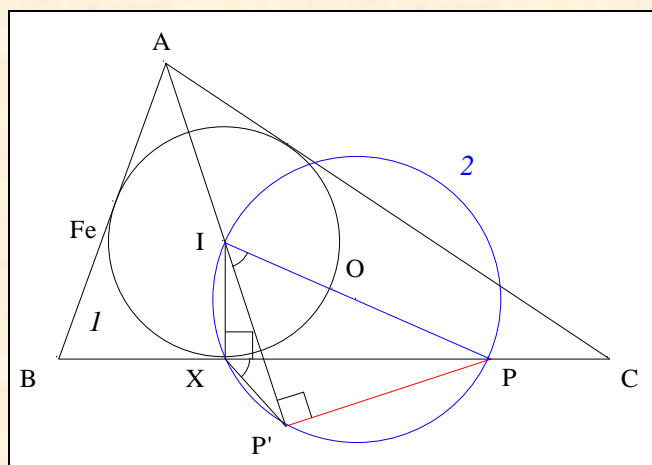


**Traits :**

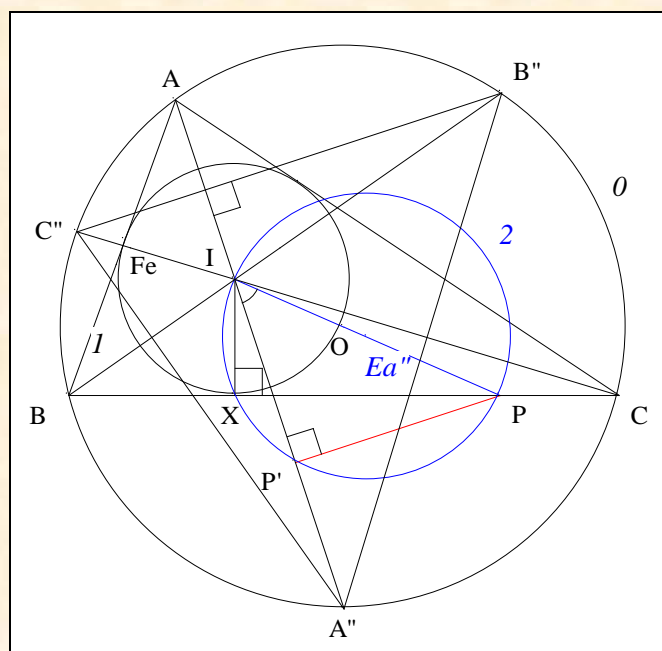
ABC	un triangle,
O	le centre du cercle circonscrit,
$I$	le cercle inscrit de ABC
I	le centre le centre de $I$ ,
X	le point de contact de $I$ avec (BC),
P	le point d'intersection de (OI) et (BC),
P'	le pied de la perpendiculaire à (AI) issue de P
et Fe	le point de Feuerbach de ABC.

**Donné :** Fe, X et P' sont alignés. <sup>33</sup>

## VISUALISATION



- Notons  $2$  le cercle de diamètre  $[IP]$  ; il passe par  $P'$  et  $X$ .
- Nous travaillons avec les angles de droites.
- D'après le théorème de l'angle inscrit,  $\angle P'XP = \angle P'IP$ .



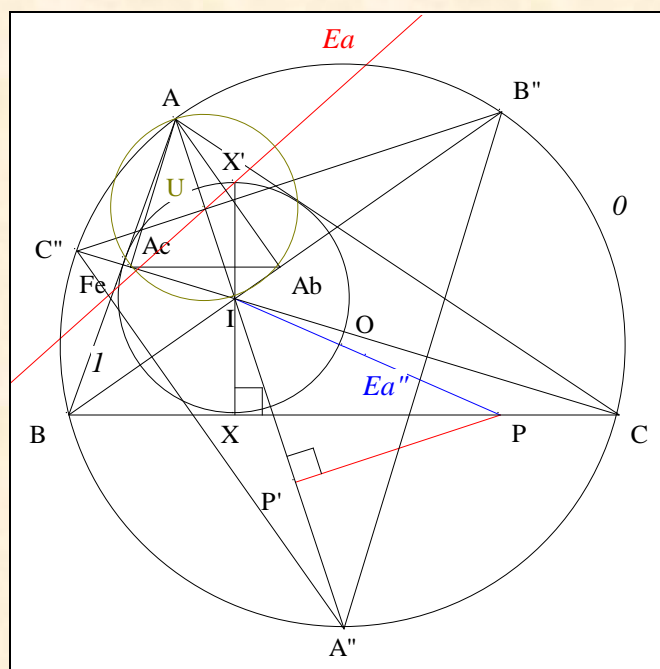
- Notons  $O$  le cercle circonscrit à  $ABC$ ,  
 $A''B''C''$  le triangle I-circumcévien de  $ABC$   
 et  $Ea''$  la droite d'Euler de  $A''B''C''$ .
- **Scolies :**
  - (1)  $Ea'' = (OI)$
  - (2)  $(A''IA)$  est la  $A$ -hauteur de  $A''B''C''$ .
- **Conclusion partielle :**  $\angle P'IP$  est l'angle des droites  $Ea''$  et  $(A''IA)$ .





**Note historique :** l'idée de cette preuve revient à un passionné de Géométrie à savoir Jan Vonk, étudiant de première année en mathématiques à l'université de Gand (Belgique).  
Je le remercie pour sa remarquable contribution à cette preuve.  
Rappelons qu'il vient de signer un article <sup>34</sup> sur le même sujet avec une approche différente de celle de l'auteur.

**Scolie :** un point sur  $Ea$



- Notons  $U$  le point d'intersection de  $(AI)$  et  $(B''C'')$ .
- Nous savons que  $I$  est l'orthocentre de  $A''B''C''$  ;  
d'après Carnot "Symétrie de l'orthocentre par rapport à un côté" (Cf. Annexe 5),  $U$  est le milieu de  $[AI]$ .
- D'après Thalès "Triangle inscrit dans un demi cercle",  
 $U$  est le centre de diamètre  $[AI]$  passant par  $Ab, Ac$  i.e.  $U$  est le centre du cercle circonscrit à  $AAbAc$ .
- **Conclusion :**  $U$  est sur  $Ea$ .

<sup>34</sup>

Vonk J., The Feuerbach Point and Reflections of the Euler Line, *Forum Geometricorum*, Volume 9 (2009) 47–55 ;  
<http://forumgeom.fau.edu/FG2009volume9/FG200905.pdf>

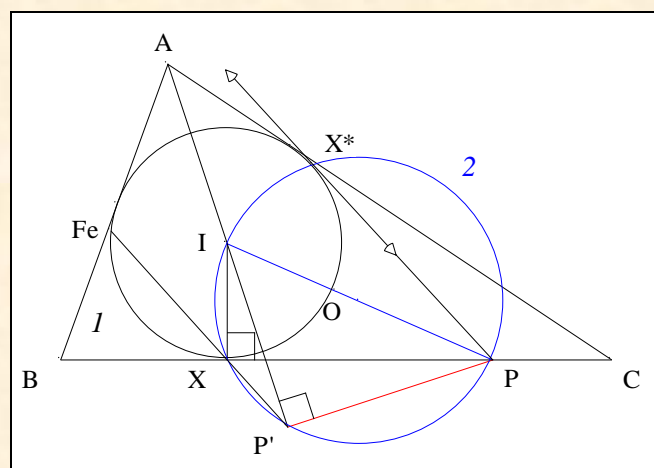
## I. LA GRANDE RÉCOLTE

Dans cette neuvième partie,  
les mêmes hypothèses et les mêmes notations se retrouvent d'un numéro à l'autre.

### 1. La tangente en $X^*$

#### VISION

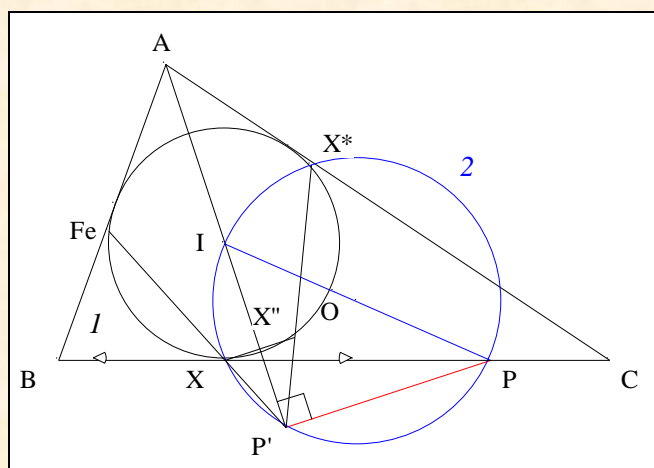
Figure :



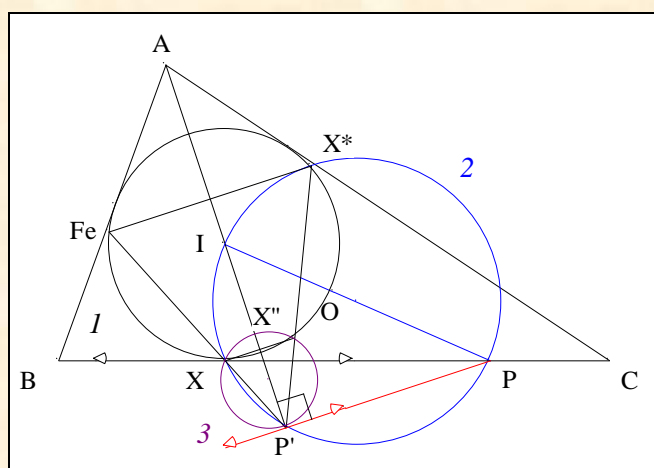
**Traits :**       $ABC$     un triangle,  
                   $O$       le centre du cercle circonscrit,  
                   $I$       le cercle inscrit de  $ABC$   
                   $I$       le centre le centre de  $I$ ,  
                   $X$       le point de contact de  $I$  avec  $(BC)$ ,  
                   $P$       le point d'intersection de  $(OI)$  et  $(BC)$ ,  
                   $Fe$     le point de Feuerbach de  $ABC$ ,  
                   $P'$     le point d'intersection  $(AI)$  et  $(FeX)$ ,  
                  et     $X^*$     le second point d'intersection de  $I$  et  $2$ .

**Donné :**       $(PX^*)$  est la tangente à  $I$  en  $P$ .

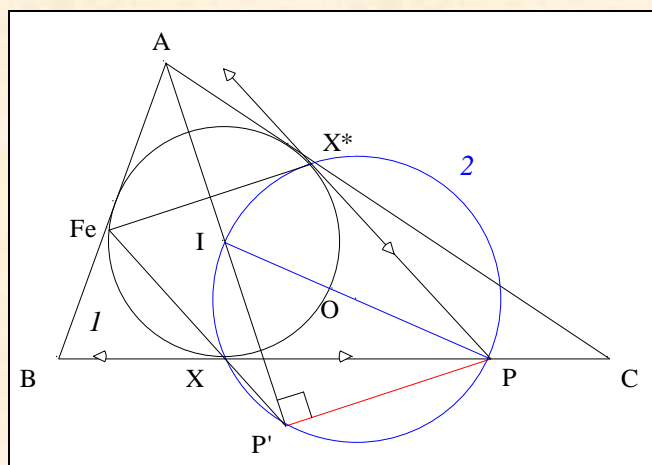
## VISUALISATION



- Notons  $X''$  le symétrique de  $X$  par rapport à  $(AI)$ .
- **Scolies :**
  - (1)  $X''$  est sur  $I$
  - (2)  $(XX'') \parallel (PP')$ .
- Les cercles  $1$  et  $2$ , les points de base  $X$  et  $X^*$ , la monienns  $(XXP)$ , les parallèles  $(XX')$  et  $(PP')$ , conduisent au théorème **3'** de Reim ; en conséquence,  $X''$ ,  $X^*$  et  $P'$  sont alignés.



- La  $P'$ -hauteur du triangle  $P'X''X$  étant aussi médiane,  $P'X''X$  est  $P'$ -isocèle.
- Notons  $3$  le cercle circonscrit à  $P'X''X$ .
- $P'X''X$  étant  $P'$ -isocèle,  $(P'P)$  est la tangente à  $3$  en  $P'$ .
- Les cercles  $3$  et  $1$ , les points de base  $X$  et  $X''$ , les monienns  $(P'XFe)$  et  $(P'X''X^*)$ , conduisent au théorème **1** de Reim ; il s'en suit que  $(PP') \parallel (FeX^*)$ .

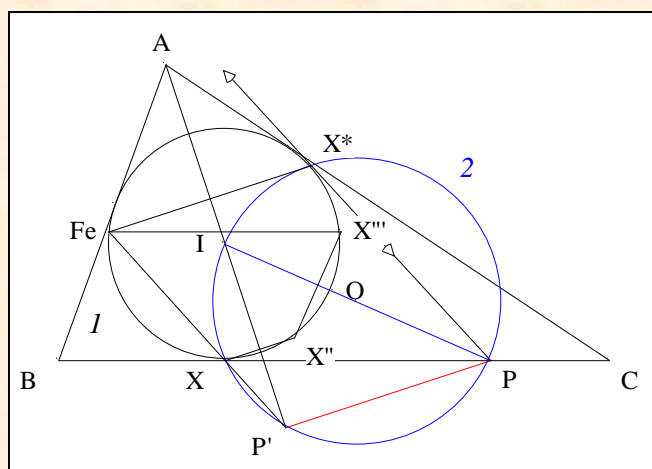


- **Conclusion :** les cercles 2 et  $I$ , les points de base  $X$  et  $X^*$ , la monienne  $(P'XFe)$ , les parallèles  $(P'P)$  et  $(FeX^*)$ , conduisent au théorème 3' de Reim ; en conséquence,  $(PX^*)$  est la tangente à  $I$  en  $P$ .

## 2. Une parallèle à $(BC)$ passant par $Fe$

### VISION

Figure :



**Traits :** aux hypothèses et notations précédentes, nous ajoutons  $X'''$  le symétrique de  $X''$  par rapport à  $(OI)$ .

**Donné :**  $(FeX''')$  est parallèle à  $(BC)$ .

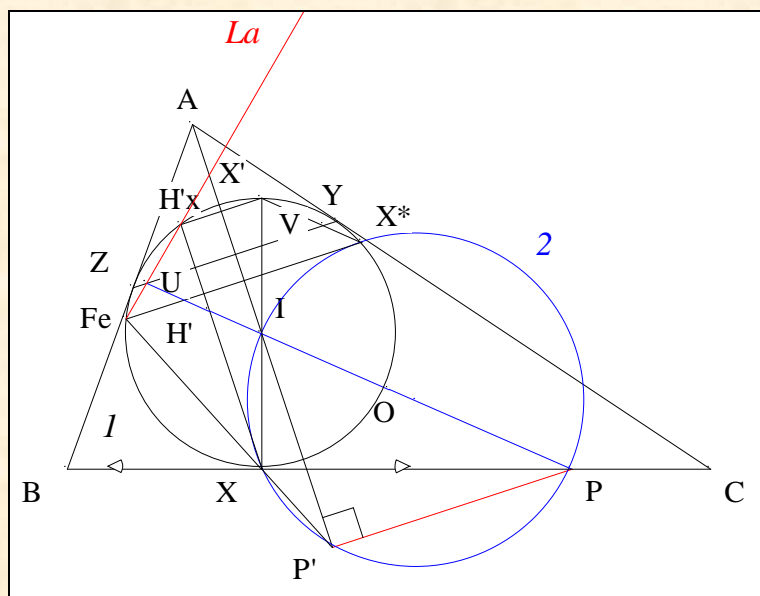
### VISUALISATION



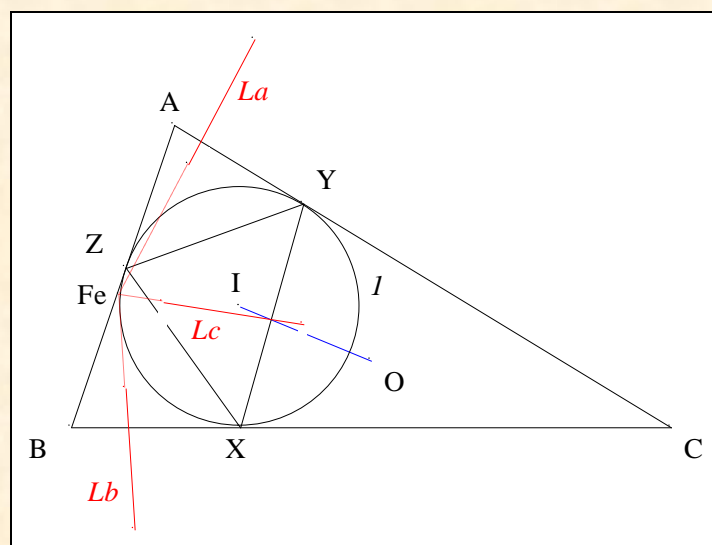








- Notons  $U, V$  les points d'intersection de  $(YZ)$  resp. avec  $(FeH'x)$ ,  $(X^*X'')$   
et  $H'$  l'orthocentre de  $XYZ$ .
- Par définition,  $(IH')$  est la droite d'Euler de  $XYZ$ .
- D'après Gob "T est sur la droite d'Euler" (Cf. Annexe 6),  
d'après l'axiome d'incidence **Ia**,  $(IH')$  passe par  $O$  ;  
 $I, O, P$  et  $H'$  sont alignés.
- Le quadrilatère  $H'x UVX'$  est un trapèze isocèle ;  
en conséquence,  
nous savons que  
par transitivité de la relation  $//$ ,  
d'après le postulat d'Euclide,  
 $(UH') // (X^*X') ;$   
 $(X^*X') // (IOPH') ;$   
 $(UH') // (IOPH') ;$   
 $(IOPH')$  passe par  $U$ .
- $(UH'x)$  est la symétrique de  $(OI)$  par rapport à  $(YZ)$ .
- Notons  $La$  cette symétrique.
- **Conclusion :**  $(FeH'x)$  est le symétrique de  $(OI)$  par rapport à  $(YZ)$  ou encore  
 $La$  passe par  $Fe$ .



- Notons  $Lb, Lc$  les symétriques de  $(OI)$  resp. par rapport à  $(ZX), (XY)$ .
- Mutatis mutandis, nous montrerions que  $Lb$  passe par  $Fe$   
 $Lc$  passe par  $Fe$ .

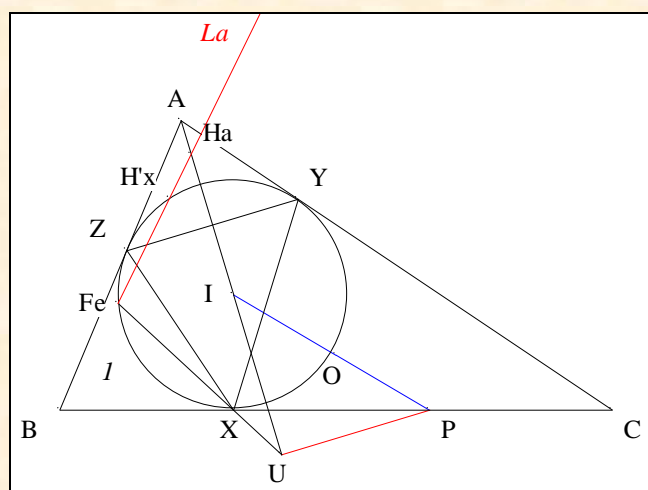
**Note historique :** ce résultat a été aussi prouvé par Darij Grinberg à partir de son article <sup>35</sup> déjà cité précédemment.

**Énoncé traditionnel :** les symétriques de la droite joignant les centres des cercles circonscrit et inscrit d'un triangle, par rapport aux côtés du triangle de contact de ce triangle, concourent au point de Feuerbach de ce triangle.

## 6. Un point remarquable sur $La$

### VISION

**Figure :**



**Traits :** aux hypothèses et notations précédentes, nous ajoutons  
 $Ha$  le symétrique de  $I$  par rapport à  $(YZ)$ .

**Donné :**  $La$  passe par  $Ha$ .

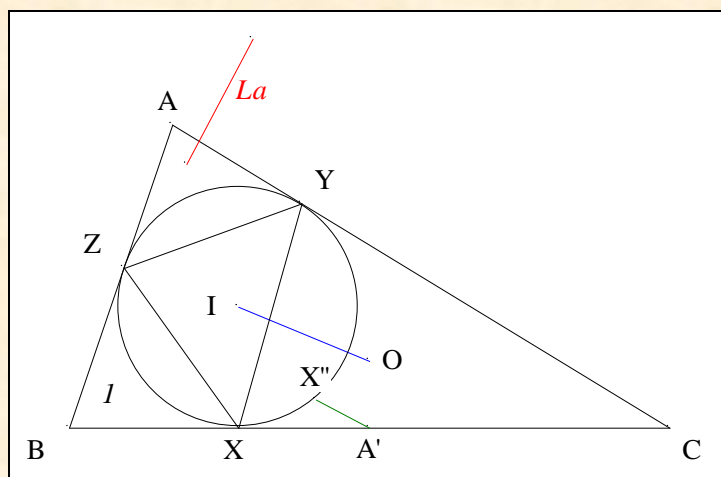
### VISUALISATION

- D'après "Orthocentre d'un triangle I-annexe" (Cf. Annexe 7),  $Ha$  est l'orthocentre du triangle  $AZY$ .
- **Conclusion :** par symétrie,  $La$  passe par  $Ha$ .

## 7. Une droite perpendiculaire à $La$

### VISION

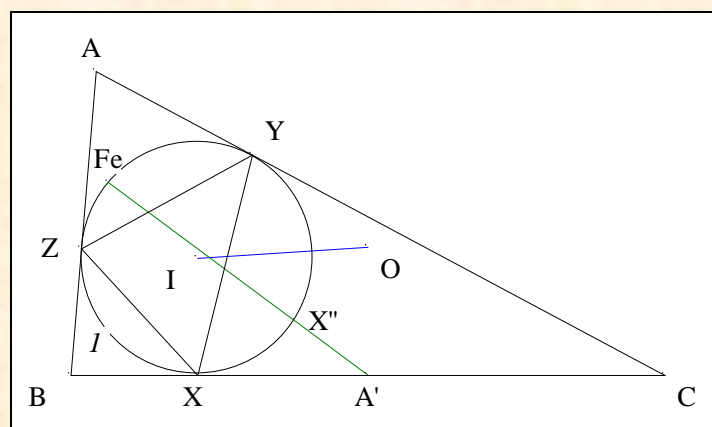
Figure :



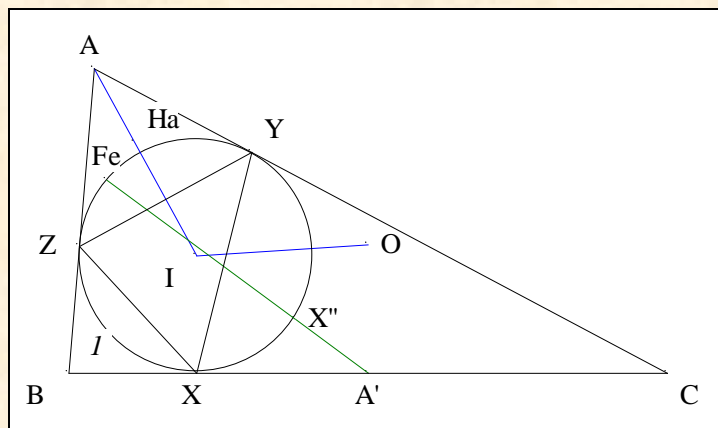
**Traits :** aux hypothèses et notations précédentes, nous rappelons  
 $X''$  le symétrique de  $X$  par rapport à  $(AI)$   
 et  $A'$  le milieu de  $[BC]$ .

**Donné :**  $La$  est perpendiculaire à  $(A'X'')$ .

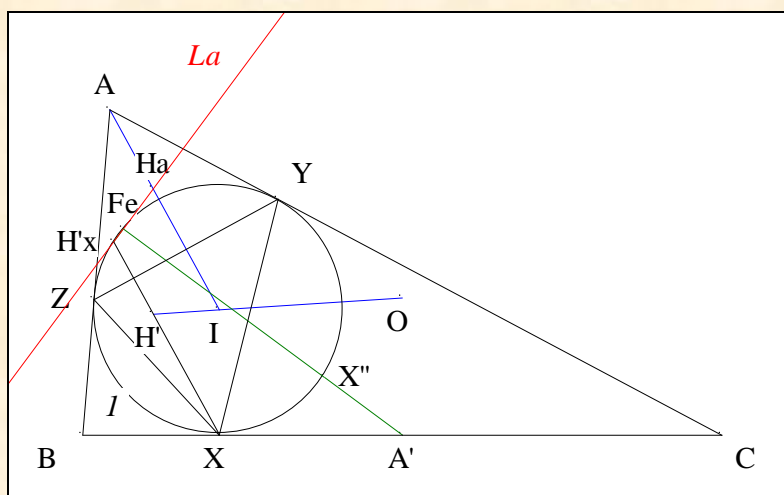
### VISUALISATION



- **Scolie :**  $Fe$ ,  $X''$  et  $A'$  sont alignés.



- **Scolies :** (1)  $Ha$  est l'orthocentre du triangle  $AZY$   
(2)  $A, Ha$  et  $I$  sont alignés.



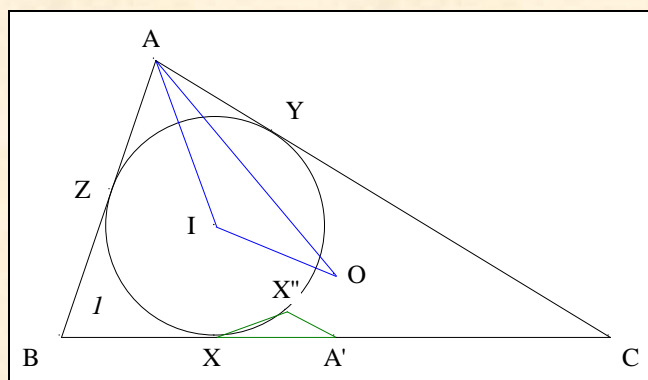
- Nous avons :  
d'après Euclide "Deux tangentes égales, scolie 3",  
d'après l'axiome IVa des perpendiculaires",  
par définition d'une hauteur,  
d'après l'axiome IVa des perpendiculaires",  
en conséquence,  
 $(XX'') \perp (AI)$  ;  
 $(AI) \perp (YZ)$  ;  
 $(XX'') \parallel (YZ)$  ;  
 $(YZ) \perp (XH'x)$  ;  
 $(XX'') \perp (XH'x)$  ;  
 $X''$  et  $Hx$  sont deux points diamétraux de  $I$ .
- D'après Thalès "Triangle inscritible dans un demi cercle",  $(FeH'x) \perp (FeX'')$  i.e.  $La \perp (A'X'')$ .
- **Conclusion :**  $La$  est perpendiculaire à  $(A'X'')$ .

## 8. Deux triangles inversement semblables <sup>36</sup>

### VISION

Figure :

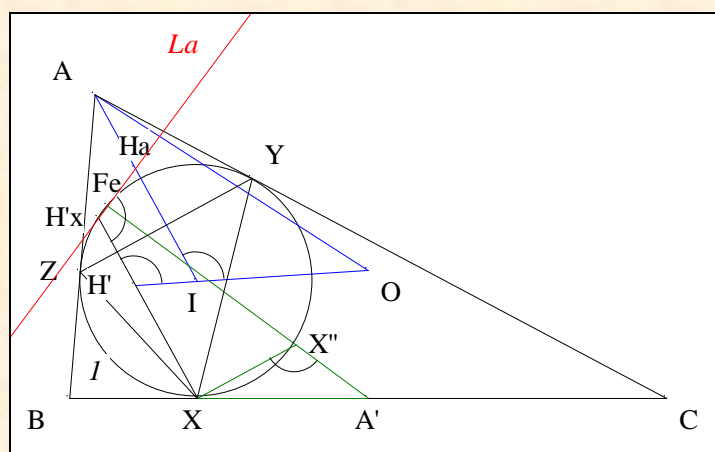




**Traits :** mêmes hypothèses et notations que précédemment.

**Donné :** le triangle  $A'X''X$  est inversement semblable au triangle  $OIA$ .

### VISUALISATION



- **Scolies :**
  - (1)  $La = (H'xFeHa)$
  - (2)  $(XX'') \perp (XH'x)$
  - (3)  $La$  est perpendiculaire à  $(A'X'')$
  - (4)  $(AI) \parallel (XH'x)$ .

- Une chasse angulaire avec les angles de droites :  
d'après le théorème des angles à côtés perpendiculaires,  
par symétrie par rapport à  $(OI)$ ,  
par le théorème des angles à côtés parallèles,

$$\begin{aligned} \angle XX''A' &= \angle XH'xFe ; \\ \angle XH'xFe &= \angle OH'H'x ; \\ \angle OH'H'x &= \angle OIA. \end{aligned}$$

- **Conclusion partielle :** par transitivité de la relation  $=$ ,

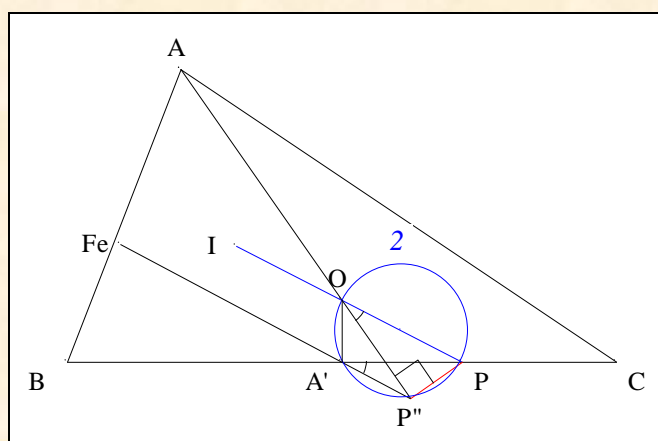
$$\angle XX''A' = \angle OIA.$$



O le centre du cercle circonscrit,  
 A' le milieu de [BC],  
 I le centre le centre de  $I$ ,  
 P le point d'intersection de (OI) et (BC),  
 P'' le pied de la perpendiculaire à (AO) issue de P  
 et Fe le point de Feuerbach de ABC.

**Donné :** Fe, A' et P'' sont alignés. <sup>38</sup>

### VISUALISATION

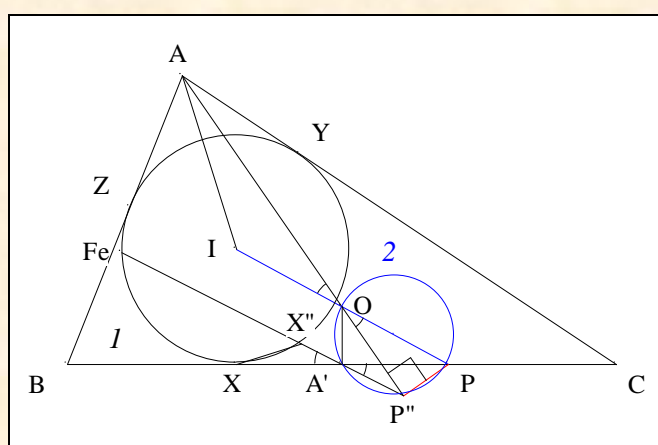


• Notons  $\alpha$  l'angle  $\angle P''A'P$  ; il passe par P'' et A'.

• Nous travaillons avec les angles de droites.

• D'après le théorème de l'angle inscrit,  
 d'après le théorème des angles opposés par le sommet,  
 par transitivité de la relation =,

$$\begin{aligned}
 \angle P''A'P &= \angle P''OP ; \\
 \angle P''OP &= \angle AOI ; \\
 \angle P''A'P &= \angle AOI.
 \end{aligned}$$



• D'après IX. 8. Deux triangles inversement semblables,  
 A', X'' et Fe étant alignés,  
 par transitivité de la relation =,

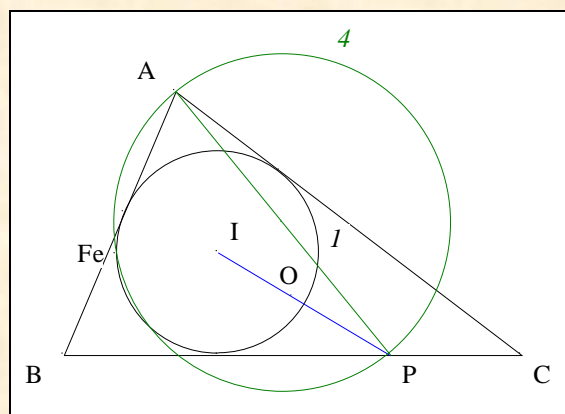
$$\begin{aligned}
 \angle AOI &= \angle X''A'X ; \\
 \angle X''A'X &= \angle FeA'X \\
 \angle P''A'P &= \angle FeA'X.
 \end{aligned}$$

• **Conclusion :** Fe, A' et P'' sont alignés ou encore Fe, X'', A' et P'' sont alignés.

# 10. Un cercle passant par Fe <sup>39</sup>

## VISION

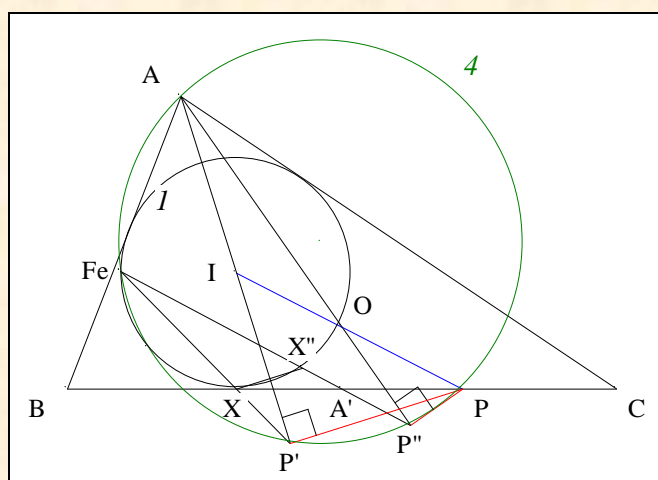
Figure :



**Traits :** aux hypothèses et notations précédentes, nous ajoutons  
le cercle de diamètre [AP].

**Donné :** 4 passe par Fe.

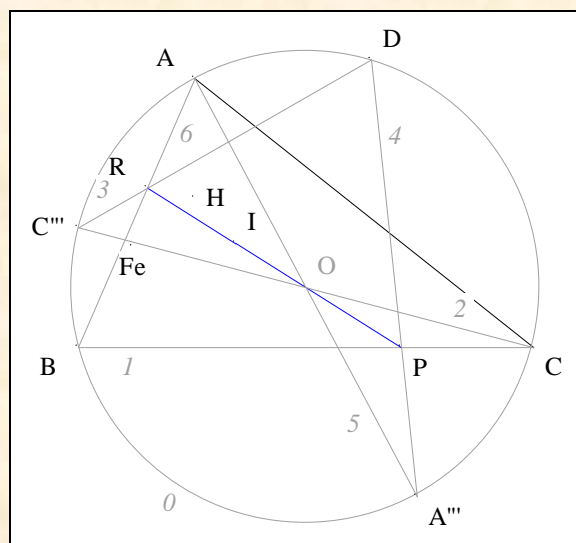
## VISUALISATION



- **Scolie :** d'après Thalès "Triangle inscrit dans un demi cercle", 4 passe par P' et P''.

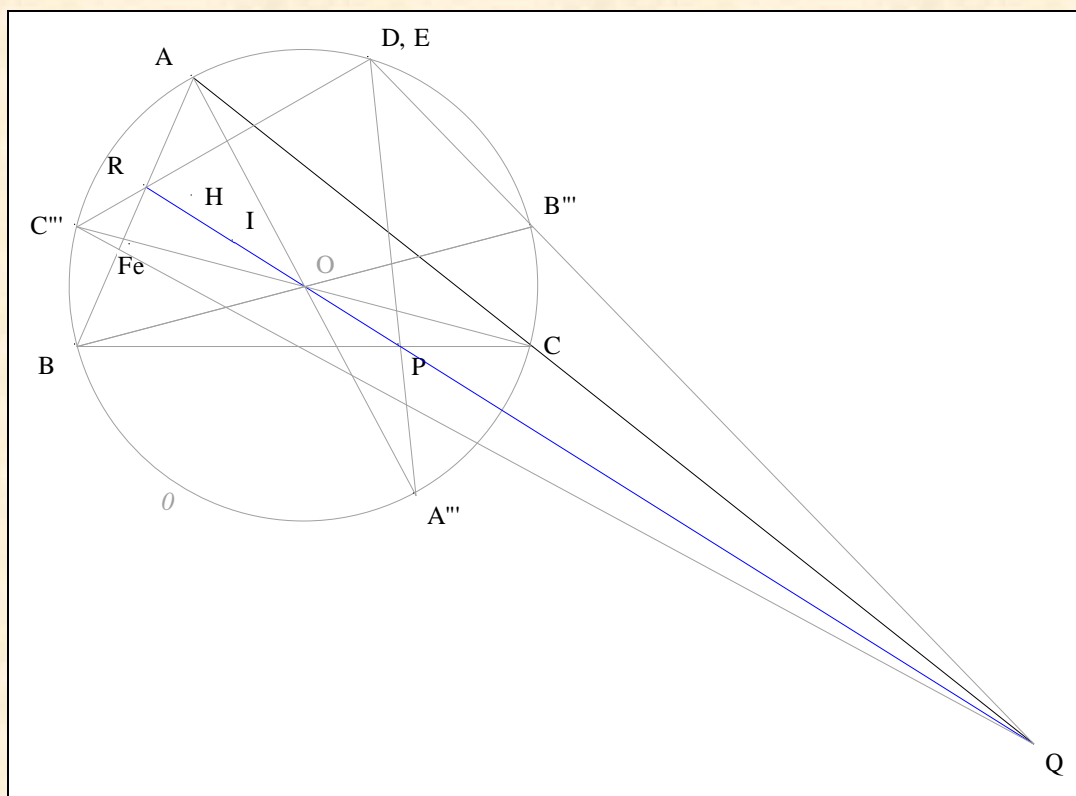


- Mutatis mutandis, nous montrerions que 5 et 6 passent par Fe.
- D'après Bodenmiller "Trois céviennes diamétrales" (Cf. Annexe 9), 4, 5 et 6 sont coaxiaux.
- Notons  $W$  le second point de concours.
- **Conclusion :** d'après "Deux céviennes diamétrales" (Cf. Annexe 10),  $(FeW)$  passe par H.
- (2)  $W$  est répertorié sous  $X_{108}$  chez ETC.
- (3) Le cercle circonscrit à ABC passe par  $X_{108}$



- Notons  $O$  le cercle circonscrit à ABC,  
 $A'', B'', C''$  les seconds points d'intersection de  $(AO)$ ,  $(BO)$ ,  $(CO)$  avec  $O$ ,  
et  $D, E$  les points d'intersection resp. de  $(A''P)$  et  $(C''R)$ , de  $(B''Q)$  et  $(A''P)$ .
- D'après Pascal "Hexagramma mysticum" (Cf. Annexe 11),  
(POR) étant la pascale de l'hexagone  $BCC''DA''AB$ ,  $D$  est sur  $O$ .

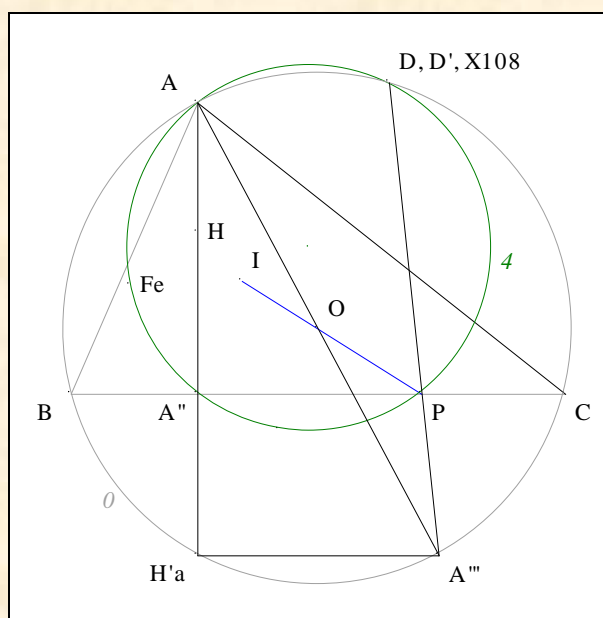




- Mutatis mutandis, nous montrerions que en conséquence,

E est sur  $\theta$  ;  
D et E sont confondus.

- **Conclusion partielle :**  $(A''P)$ ,  $(B''P)$  et  $(C''P)$  concourent en D sur  $\theta$ .



- Notons  $H'a$  le second point d'intersection de  $(AA'')$  avec  $\theta$   
et  $D'$  le second point d'intersection de  $\theta$  et  $I$ .
- D'après Carnot "Symétrique de l'orthocentre par rapport à un côté" (Cf. Annexe 5),  $(A''P) \parallel (H'aA''')$ .
- Les cercles  $\theta$  et  $4$ , le point de base A, la monienne  $(H'aAA'')$ , les parallèles  $(A''P)$  et  $(H'aA''')$ , conduisent au théorème 0' de Reim ; en conséquence,  $A'''$ ,  $D'$  et P sont alignés ;

il s'en suit que

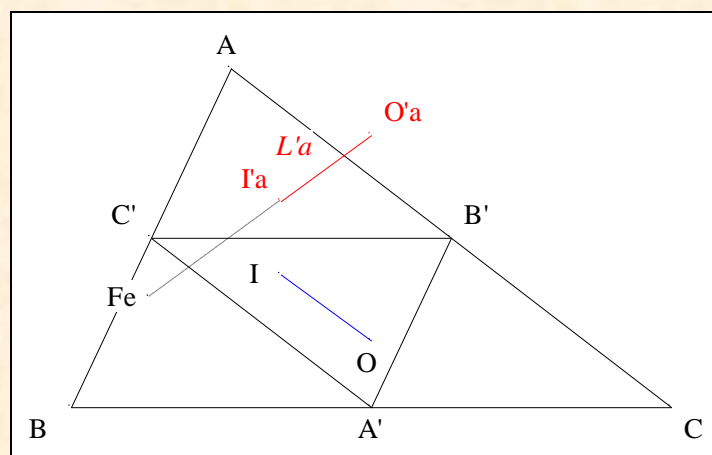
$D'$  et  $D$  sont confondus.

- **Conclusion :**  $(A''P)$ ,  $(B''P)$  et  $(C''P)$  concourant en  $D$  sur  $O$ ,  
 $0$ ,  $1$ ,  $2$  et  $3$  sont concourant en  $D$  i.e. en  $X_{108}$ .

## 11. Symétrique de $(OI)$ par rapport aux côtés du triangle médian de $ABC$

### VISION

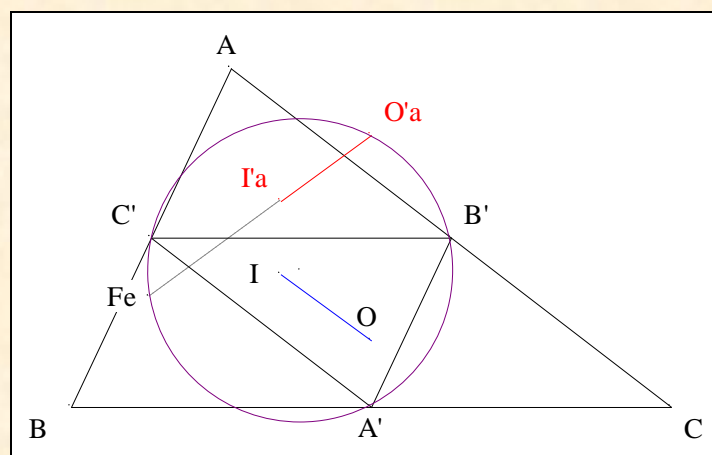
Figure :



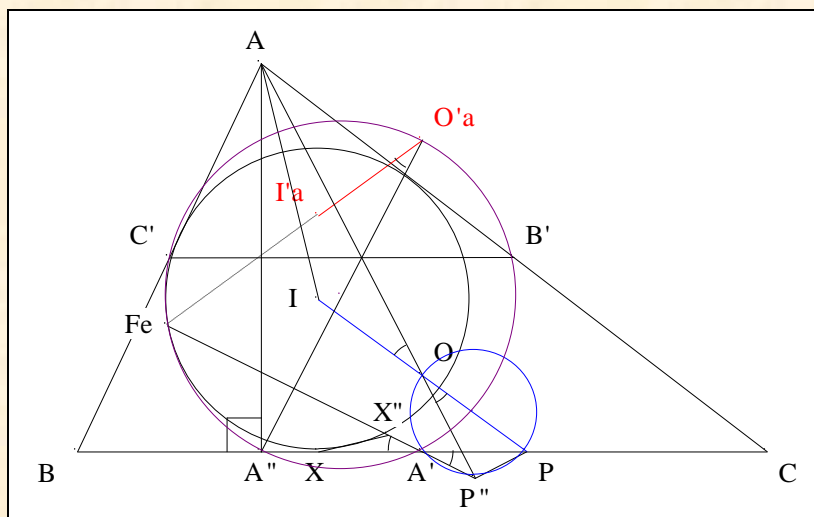
**Traits :** aux hypothèses et notations précédentes, nous ajoutons  
 $A'B'C'$  le triangle médian de  $ABC$ ,  
 $O'a$ ,  $I'a$  les symétriques resp. de  $O$ ,  $I$  par rapport à  $(B'C')$   
 et  $L'a$  la droite  $(O'aI'a)$ .

**Donné :**  $L'a$  passe par  $Fe$ .

### VISUALISATION

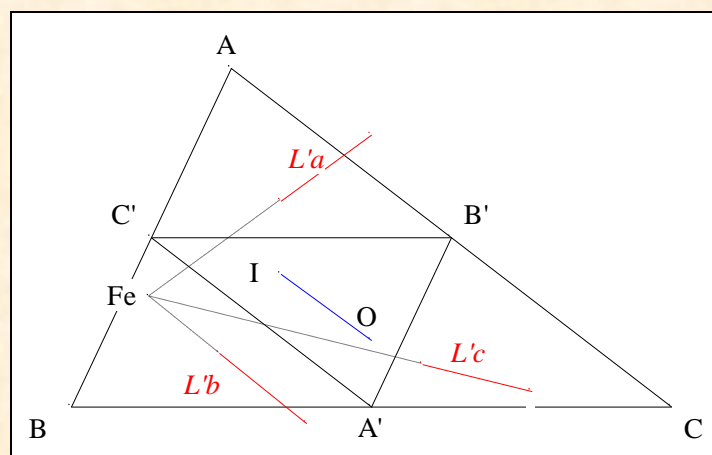


- **Scolies :**
  - (1)  $O$  est l'orthocentre de  $A'B'C'$
  - (2) le cercle circonscrit à  $A'B'C'$  est le cercle d'Euler de  $ABC$
  - (3) d'après Carnot "Symétrique de l'orthocentre par rapport à un côté" (Cf Annexe 5),  
 $O'a$  est sur le cercle d'Euler de  $ABC$
  - (4) d'après A. Feuerbach, le cercle d'Euler de  $ABC$  passe par  $Fe$ .



- Nous travaillons avec les angles de droites.
  - Une chasse angulaire :  
 d'après **I. 9**. Trois points alignés  
 d'après le théorème de l'angle inscrit,  
 d'après le théorème des angles opposés par le sommet,  
 par symétrie d'axe ( $B'C'$ ),  
 par transitivité de la relation =,  
 Fe,  $A''$ ,  $A'$  et  $O'a$  étant sur le cercle d'Euler de ABC,  
 $(O'aI'a)$  passe par Fe.
- $\angle FeA'X = \angle P''A'P$  ;  
 $\angle P''A'P = \angle P''OP$  ;  
 $\angle P''OP = \angle AOI$  ;  
 $\angle AOI = \angle A''O'aI'a$  ;  
 $\angle FeA'X = \angle A''O'aI'a$  ;  
 $(O'aI'a)$  passe par Fe.
- **Conclusion** :  $(O'aI'a)$  est le symétrique de  $(OI)$  par rapport à  $(B'C')$  ou encore  $L'a$  passe par Fe.

**Scolie :** deux autres droites passant par Fe

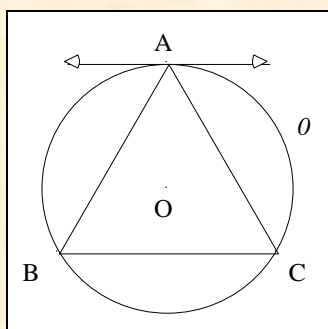


- Notons  $L'b, L'c$  les symétriques de  $(OI)$  resp. par rapport à  $(C'A')$ ,  $(A'B')$ .
- **Conclusion** : mutatis mutandis, nous montrerions que  
 $L'b$  passe par Fe  
 $L'c$  passe par Fe.

**Énoncé traditionnel :** les symétriques de la droite joignant les centres des cercles circonscrit et inscrit d'un triangle, par rapport aux côtés du triangle médian de ce triangle, concourent au point de Feuerbach de ce triangle.

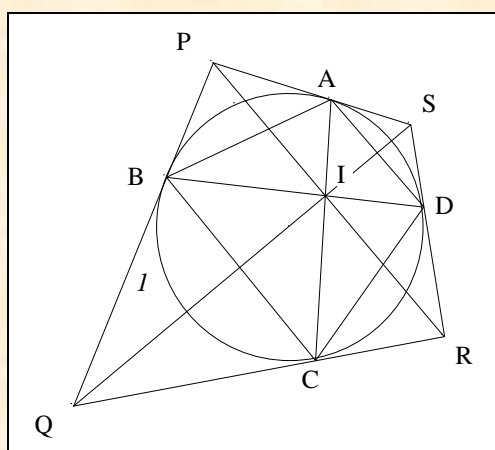
## J. ANNEXE

## 1. La tangente au sommet



**Traits :**         $ABC$     un triangle,  
                        $O$         le cercle circonscrit à  $ABC$ ,  
                        $O$         le centre de  $O$   
                       et     $Ta$        la tangente à  $O$  en  $A$ .

**Donné :**         $ABC$  est isocèle en  $A$  si, et seulement si,  $Ta$  est parallèle à la base  $(BC)$ .

2. Le théorème de Newton <sup>40</sup>

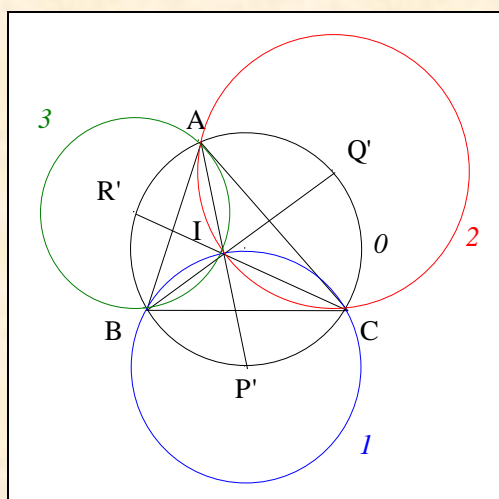
**Traits :**         $I$         un cercle,  
                        $ABCD$  un quadrilatère inscrit dans  $I$   
                       et     $PQRS$  le quadrilatère tangentiel de  $ABCD$ .

**Donné :**        les diagonales  $[PR]$ ,  $[SQ]$ ,  $[AC]$  et  $[BD]$  sont concourantes.

<sup>40</sup>

Newton I., *Principes* (1686) corollaire II du lemme XXIV ; il est aussi appelé théorème faible de Brianchon

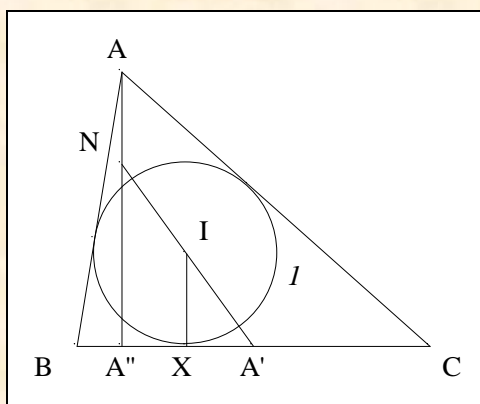
### 3. Theorem of schamrock



**Traits :**  $ABC$  un triangle,  
 $O$  le cercle circonscrit à  $ABC$ ,  
 $I$  le centre de  $ABC$ ,  
 $P', Q', R'$  les points d'intersection resp. de  $(IA)$ ,  $(IB)$ ,  $(IC)$  avec  $O$   
 et  $I, 2, 3$  les cercles de centres resp.  $P', Q', R'$  passant resp. par  $B$  et  $C$ ,  $C$  et  $A$ ,  $A$  et  $B$ .

**Donné :**  $I, 2$  et  $3$  sont concourants en  $I$ .

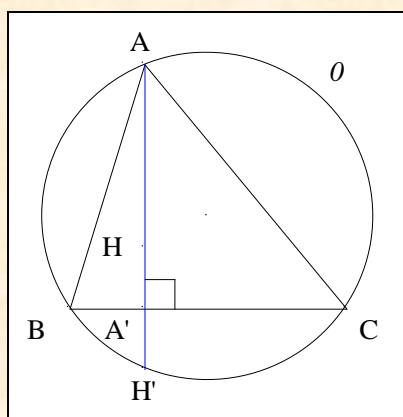
### 4. Rayon du cercle inscrit



**Traits :**  $ABC$  un triangle,  
 $I$  le cercle inscrit dans  $ABC$ ,  
 $I$  le centre de  $I$ ,  
 $X$  le point de contact de  $I$  avec  $(BC)$ ,  
 $A'$  le milieu de  $[BC]$ ,  
 $A''$  le pied de la  $A$ -hauteur de  $ABC$   
 et  $N$  le point d'intersection de  $(AI)$  avec  $(AA'')$ .

**Donné :**  $AN = IX$ .

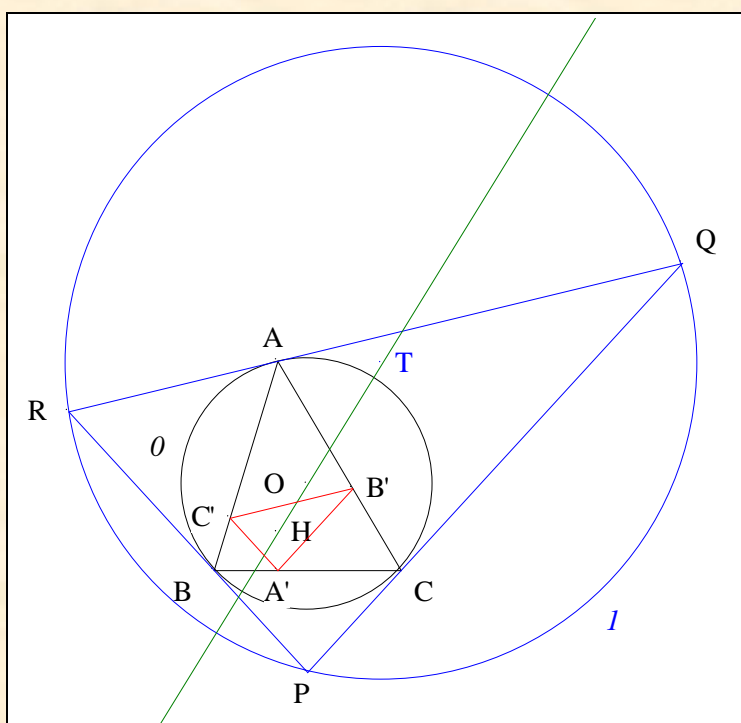
### 5. Symétrique de l'orthocentre par rapport à un côté <sup>41</sup>



**Traits :** ABC un triangle acutangle,  
H l'orthocentre du triangle,  
A' le pied de la hauteur de ABC en A,  
O le cercle circonscrit à ABC  
et H' le pied de la hauteur de ABC en A sur O.

**Donné :** A' est le milieu de [HH'].

### 6. Centre du cercle circonscrit du triangle tangential <sup>42</sup>



**Traits :** ABC un triangle,  
O le cercle circonscrit de ABC,  
O le centre de O,  
H l'orthocentre de ABC,  
A'B'C' le triangle orthique de ABC,  
PQR le triangle tangential de ABC

<sup>41</sup> Carnot, n° 142, *De la corrélation des figures géométriques* (1801) 101

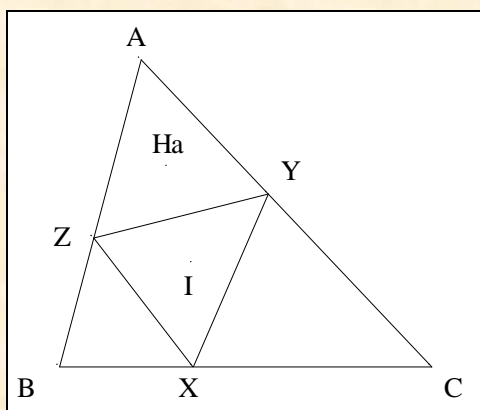
<sup>42</sup> Gob M. A., proposition 2, Sur la droite et le cercle d'Euler, *Notes de Géométrie Récentes*, supplément de *Mathesis* 9 (1889)



et  $I$  le cercle circonscrit à PQR  
 $T$  le centre de  $I$ .

**Donné :**  $T$  est sur la droite d'Euler de ABC.

### 7. Orthocentre d'un triangle I-annexe<sup>43</sup>



**Traits :** ABC un triangle,  
 $I$  le centre de ABC,  
XYZ le triangle de contact de ABC  
et  $Ha$  le symétrique de  $I$  par rapport à  $(YZ)$ .

**Donné :**  $Ha$  est l'orthocentre du triangle AYZ.

**Énoncé traditionnel :** les symétriques du centre d'un triangle par rapport aux côtés du triangle de contact, sont les orthocentres des triangles annexes du triangle de contact.

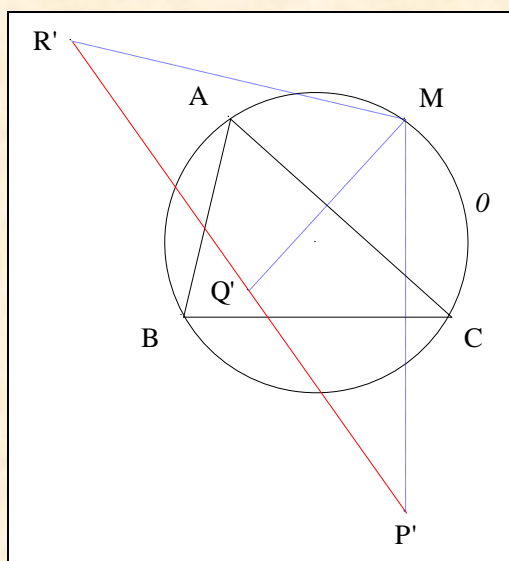
**Scolies :**

- (1) AYZ est le triangle I-annexe de ABC.
- (2) Lorsque ABC est A-rectangle,  $Ha$  se confond avec A.

<sup>43</sup>

Emelyanov L. A., Emelyanova T. L., Three mysterious points of triangle.

## 8. La droite et l'antipoint de Steiner <sup>44</sup>

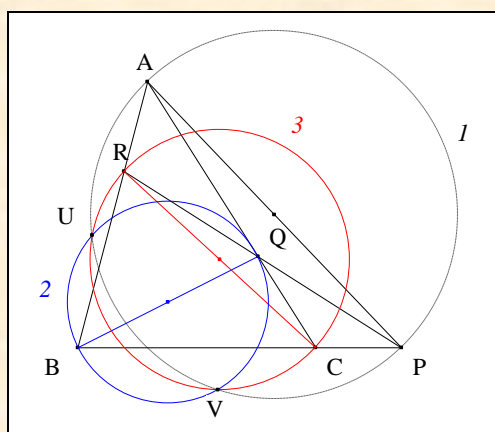


**Traits :** ABC un triangle acutangle,  
 $O$  le cercle circonscrit à ABC,  
M un point,  
et  $P', Q', R'$  les symétriques de M resp. par rapport à (BC), (CA), (AB).

**Donné :** M est sur  $l$  si, et seulement si,  $P', Q'$  et  $R'$  sont alignés.

**Scolies :** (1)  $(P'Q'R')$  est "la droite de Steiner de pôle M relativement à ABC".  
(2) M est "l'antipoint de Steiner de  $(P'Q'R')$  relativement à ABC".

## 9. Trois céviennes diamétrales <sup>45</sup>



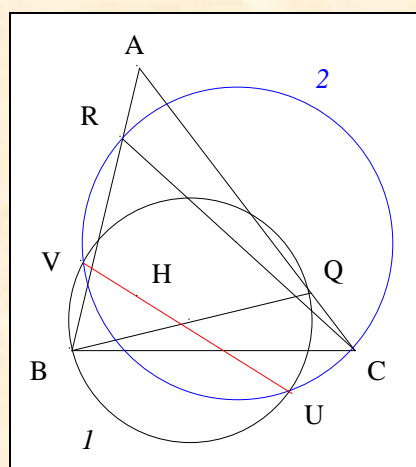
**Traits :** ABC un triangle,  
P, Q, R trois points resp. de (AB), (BC), (CA),  
 $l, 2, 3$  les cercles de diamètre resp. [AP], [BQ], [CR]  
et U, V les points d'intersection de 2 et 3.

<sup>44</sup> Steiner J.

<sup>45</sup> Bodenmiller, *Analytische Sphärik*, Cologne (1830) 138

**Donné :**  $(PQR)$  est une ménélienne de  $ABC$  *si, et seulement si,*  $I$  passe par  $U$  et  $V$ .

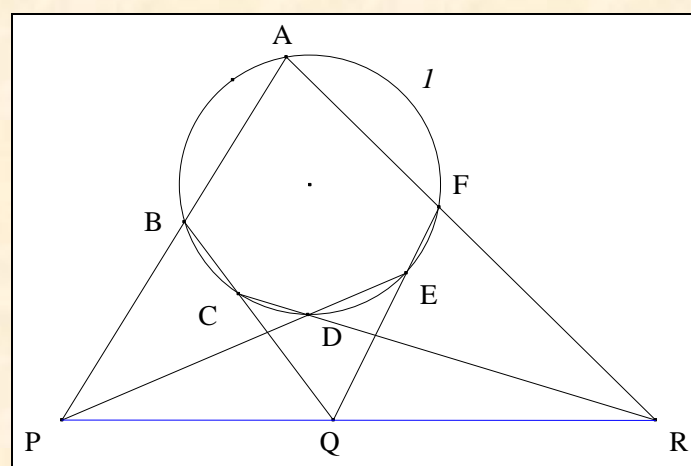
### 10. Deux céviennes diamétrales



**Traits :**  $ABC$  un triangle,  
 $H$  l'orthocentre de  $ABC$ ,  
 $Q$  un point de  $(CA)$ ,  
 $R$  un point de  $(AB)$ ,  
 2, 3 les cercles de diamètre resp.  $[BQ]$ ,  $[CR]$   
 et  $U, V$  les points d'intersection de 2 et 3.

**Donné :**  $U, V$  et  $H$  sont alignés.

### 11. Hexagramma mysticum <sup>46</sup>



**Traits :**  $I$  un cercle,  
 $ABCDEF$  un hexagone tels que les sommets  $A, B, C, D, E$  soient sur  $I$ ,  
 et  $P, Q, R$  les points d'intersection resp. de  $(AB)$  et  $(DE)$ ,  $(BC)$  et  $(EF)$ ,  $(CD)$  et  $(FA)$ .

**Donné :**  $F$  est sur  $I$  *si, et seulement si,*  $P, Q$  et  $R$  sont alignés.